

Atom vodíku

Nejjednodušší soustava: p + e

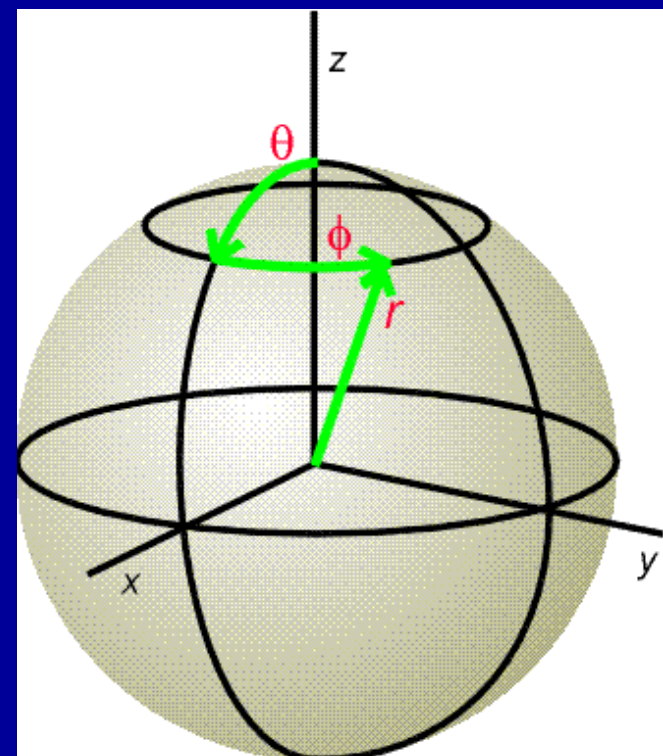
$$\hat{H} \Psi = E \Psi$$

Schrödingerova rovnice je
řešitelná exaktně

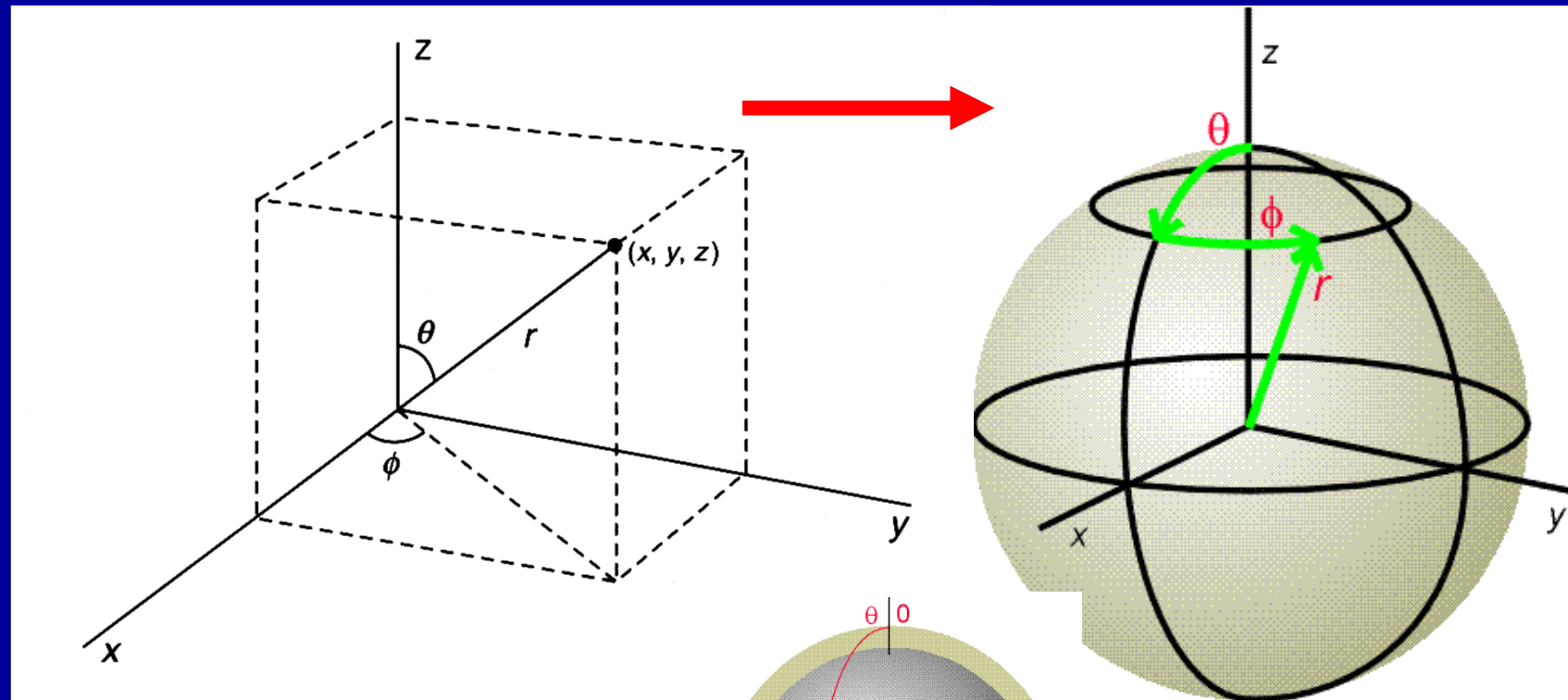
Kulová symetrie - výhoda

Potenciální energie mezi p + e

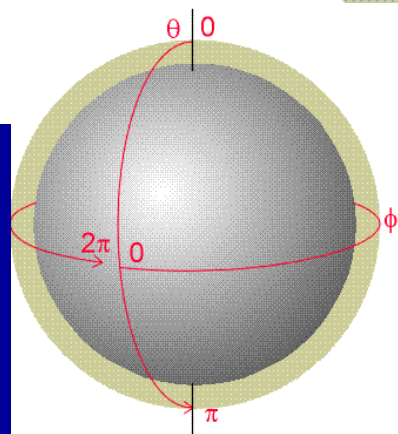
$$V = -\frac{e^2}{4\pi\epsilon_0 r}$$



Polární souřadnice – využití kulové symetrie atomu



$$\Psi(x, y, z) \rightarrow \Psi(r, \theta, \phi)$$



$$\begin{aligned} x &= ? \\ y &= ? \\ z &= r \cos \theta \end{aligned}$$

Rozklad vlnové funkce na radiální a angulární část

$$\Psi_{n, l, m}(r, \theta, \phi) = N \times R_{n, l}(r) \times \chi_{l, m}(\theta, \phi)$$

Separace proměnných

$R_{n, l}(r)$ = radiální část vlnové funkce, závisí jen na vzdálenosti r od jádra

$\chi_{l, m}(\theta, \phi)$ = angulární (úhlová) část vlnové funkce závisí na směru θ, ϕ

N = normalizační konstanta

aby platilo $\int |\Psi|^2 dV = +1$

normalizační podmínka, elektron určitě někde je,
pravděpodobnost = 1

Kvantová čísla

$\mathbf{R}_{n, l}(\mathbf{r})$ závisí na kvantových číslech n a l

$\chi_{l, m}(\theta, \phi)$ závisí na kvantových číslech l a m_l

Hlavní kvantové číslo n , (nabývá hodnot 1 až ∞)

Vedlejší kvantové číslo l , (nabývá hodnot 0 až $n - 1$)

$l = 0$ (s), 1 (p), 2 (d), 3 (f), 4 (g), 5 (h),

Magnetické kvantové číslo m_l , (nabývá hodnot $+l, \dots, 0, \dots, -l$)

Pro každé l je $(2l + 1)$ hodnot m_l

Spinové kvantové číslo m_s (nabývá hodnot $\pm \frac{1}{2}$)

Vlastní vlnové funkce atomu H

$$\varphi_{1,0,0} = \frac{1}{\sqrt{\pi a_0^3}} e^{-r/a_0}$$

$$\varphi_{2,0,0} = \frac{1}{\sqrt{8\pi a_0^3}} \left(1 - \frac{r}{2a_0}\right) e^{-r/2a_0}$$

$$\varphi_{2,1,0} = \frac{1}{4\sqrt{2\pi a_0^3}} \frac{r}{a_0} e^{-r/2a_0} \cos \theta$$

$$\varphi_{2,1,1} = -\frac{1}{8\sqrt{\pi a_0^3}} \frac{r}{a_0} e^{-r/2a_0} \sin \theta e^{i\phi}$$

$$\varphi_{3,0,0} = \frac{1}{3} \sqrt{\frac{1}{3\pi a_0^3}} \left[1 - \frac{2}{3} \frac{r}{a_0} + \frac{2}{27} \left(\frac{r}{a_0}\right)^2\right] e^{-r/3a_0}$$

$$\varphi_{3,1,m} = \frac{4}{27} \sqrt{\frac{2}{3a_0^3}} \frac{r}{a_0} \left(1 - \frac{1}{6} \frac{r}{a_0}\right) e^{-r/3a_0} Y_{1,m}(\theta, \phi)$$

$$\varphi_{3,2,m} = \frac{2}{81} \sqrt{\frac{2}{15a_0^3}} \left(\frac{r}{a_0}\right)^2 e^{-r/3a_0} Y_{2,m}(\theta, \phi)$$

- řešení Schrödingerovy rovnice
- komplexní funkce souřadnic x, y, z nebo lépe r, φ, θ
- nemají fyzikální význam
- mohou nabývat kladných i záporných hodnot (fáze!)
- $|\Psi|^2$ má význam **hustoty pravděpodobnosti** výskytu e

Radiální část vlnové funkce atomu H

n	l	m_l	$R_{n,l}(r)$
1 (K)	0 (s)	0	$2 (Z/a_0)^{3/2} \exp(-Zr/a_0)$
2 (L)	1 (p)	0	$2 (Z/2a_0)^{3/2} (1 - Zr/2a_0) \exp(-Zr/2a_0)$
2 (L)	1 (p)	± 1	$2/\sqrt{3} (Z/2a_0)^{3/2} (Zr/2a_0) \exp(-Zr/2a_0)$

Vlastní hodnoty energie E elektronu v atomu H typu

$$E_n = -\frac{N_A \mu e^4}{8\epsilon_0^2 h^2} \frac{Z^2}{n^2}$$

μ = redukovaná hmotnost systému jádro-elektron
 e = elementární náboj, ϵ_0 = permitivita vakua

Z – čím vyšší náboj jádra tím silněji je elektron vázán, nižší energie, jednoelektronové ionty (He^+ , Li^{2+} , ...)

n – s rostoucím hlavním kvantovým číslem se elektřina stává méně stabilní

Odpovídá Bohrově rovnici!!

$$E_n = -E_0 \frac{Z^2}{n^2}$$

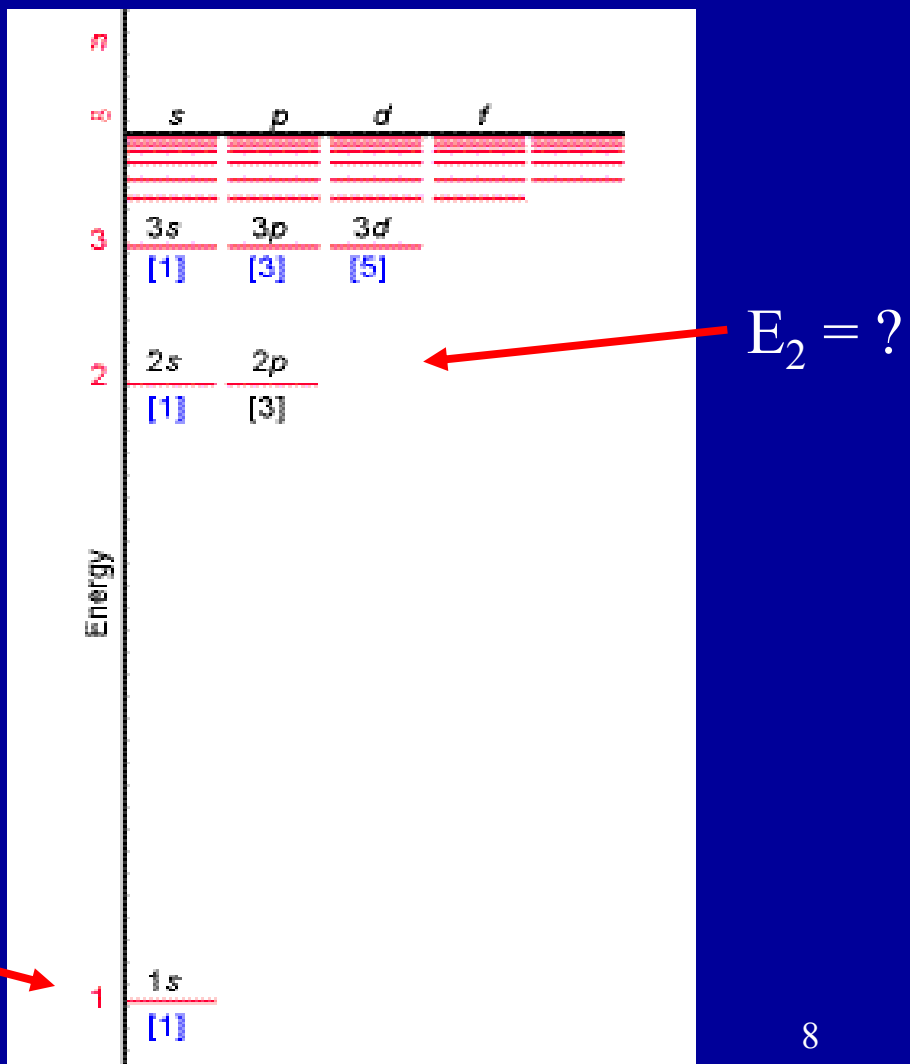
Vlastní hodnoty E elektronu v atomu H typu

$$E_n = -\frac{N_A \mu e^4}{8\epsilon_0^2 h^2} \frac{Z^2}{n^2}$$

Energie závisí jen na n

$$E_1 = -13,6 \text{ eV}$$

$$(13,6 \text{ eV} = 1 \text{ Ry})$$



Hlavní kvantové číslo n

Určuje energii hladiny
vyšší n má vyšší energii - méně
stabilní

n stejné jako v Bohrově modelu

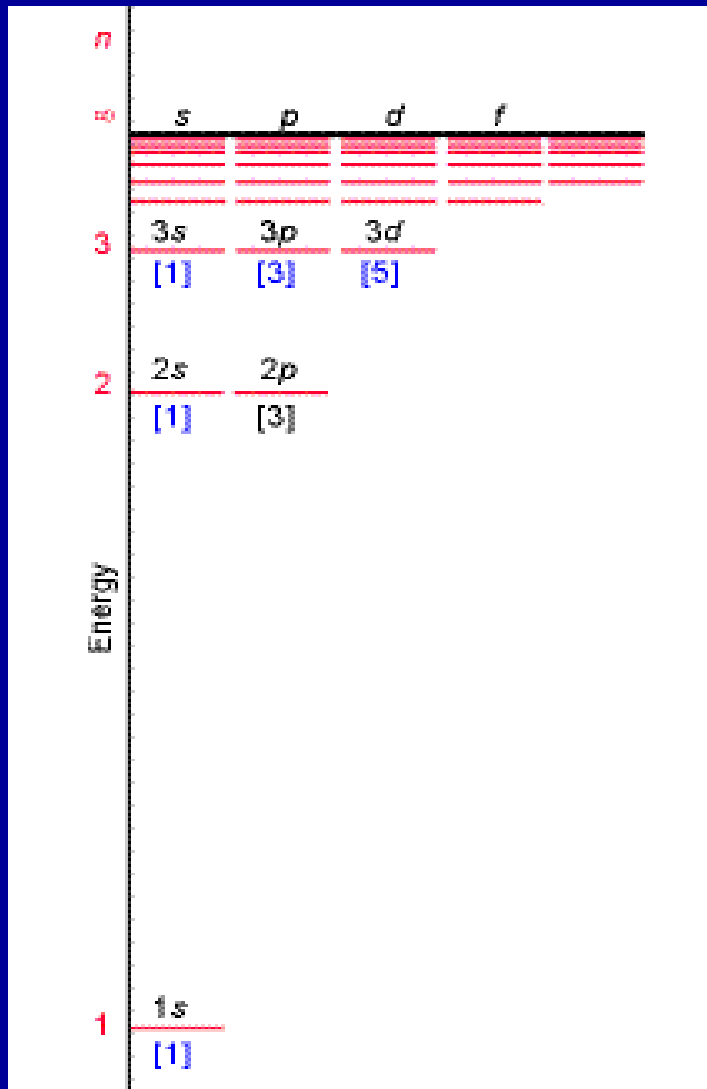
přípustné hodnoty 1 až ∞

Pro každé n existuje n^2
degenerovaných hladin

$$l = n - 1$$

$$\sum_{l=0} (2l + 1) = n^2$$

$$l = 0$$



Orbitální moment hybnosti

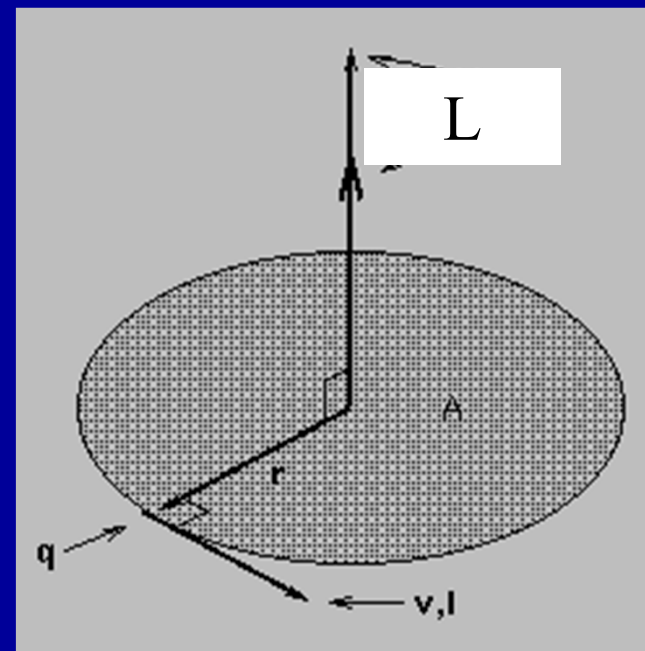
L = orbitální moment hybnosti (vektor)

$$L = m \times v \times r = p \times r$$

Velikost L je kvantována

$$L = \hbar \sqrt{l(l+1)}$$

Popisuje pohyb elektronů v orbitalech



Vedlejší kvantové číslo l

Určuje typ orbitalu, (0 až n -1)

l	orbital	
0	s	$L = \text{orbitální moment hybnosti}$
1	p	$L = m \times v \times r$
2	d	
3	f	
4	g	$L = \hbar \sqrt{l(l+1)}$
5	h	
6	i	tyto orbitaly nejsou zaplněny elektrony u atomů v
7	j	
8	k	základním stavu

Magnetické kvantové číslo m_l

l	orbital	m_l	$L_z = m_l \hbar = m_l \frac{h}{2\pi}$
0	s	0	
1	p	1, 0, -1	
2	d	2, 1, 0, -1, -2	
3	f	3, 2, 1, 0, -1, -2, -3	
4	g	nejsou zaplněny	
5	h	elektrony u atomů v	
6	i	základním stavu	

Pro každé n existuje n^2 degenerovaných hladin

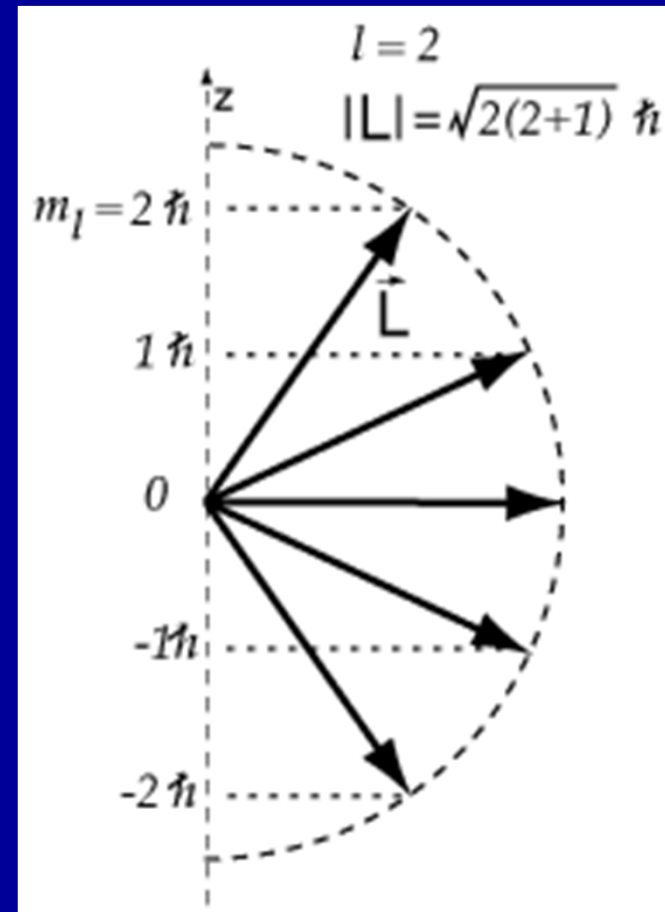
Kvantování orbitálního momentu hybnosti

Velikost L je kvantována číslem l

$$L = \hbar \sqrt{l(l+1)}$$

Velikost L_z je kvantována číslem m_l

$$L_z = m_l \hbar = m_l \frac{h}{2\pi}$$



Pro každé n existuje n^2 degenerovaných hladin

	s	p	d	f	g	h
$l =$	0	1	2	3	4	5
$n = 1$	1s					
$n = 2$	2s	2p				
$n = 3$	3s	3p	3d			
$n = 4$	4s	4p	4d	4f		
$n = 5$	5s	5p	5d	5f	5g	
$n = 6$	6s	6p	6d	6f	6g	6h

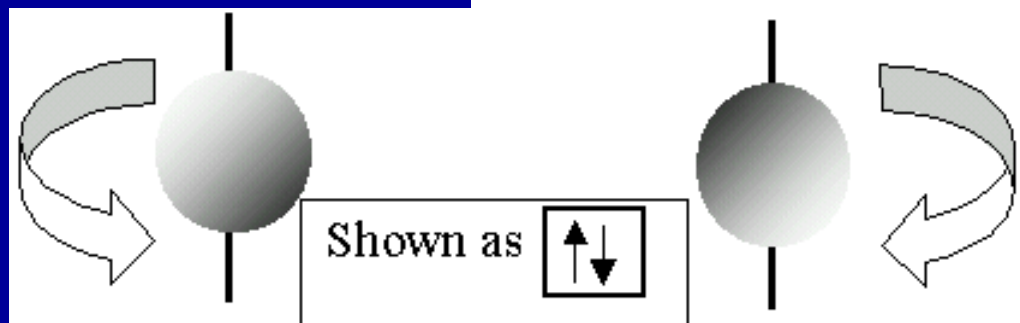
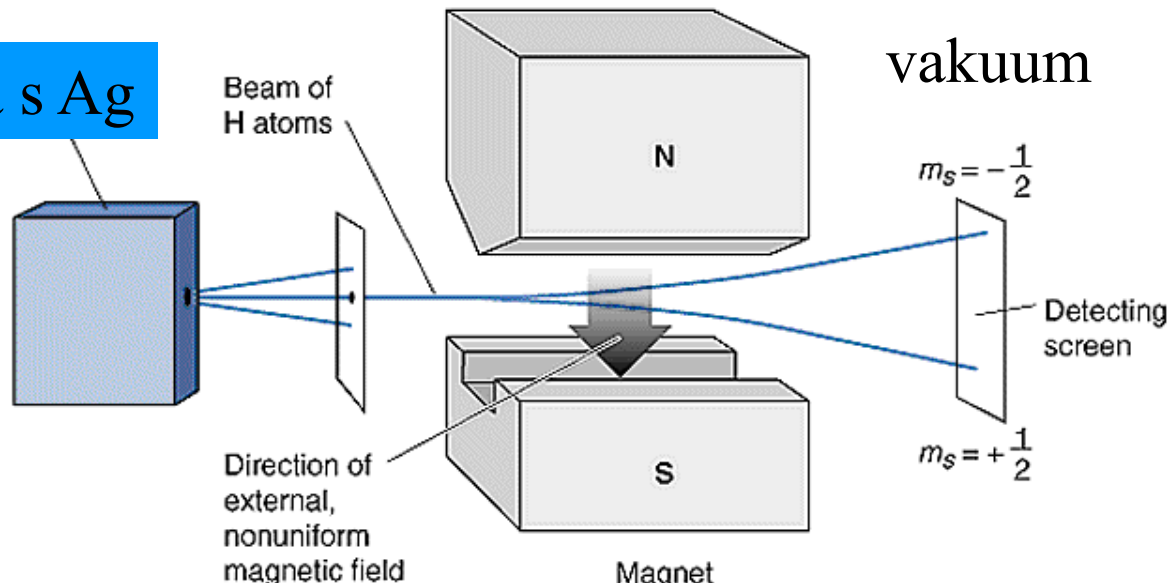
Magnetické spinové kvantové číslo m_s

Stern-Gerlachův experiment

Nehomogenní magnetické pole

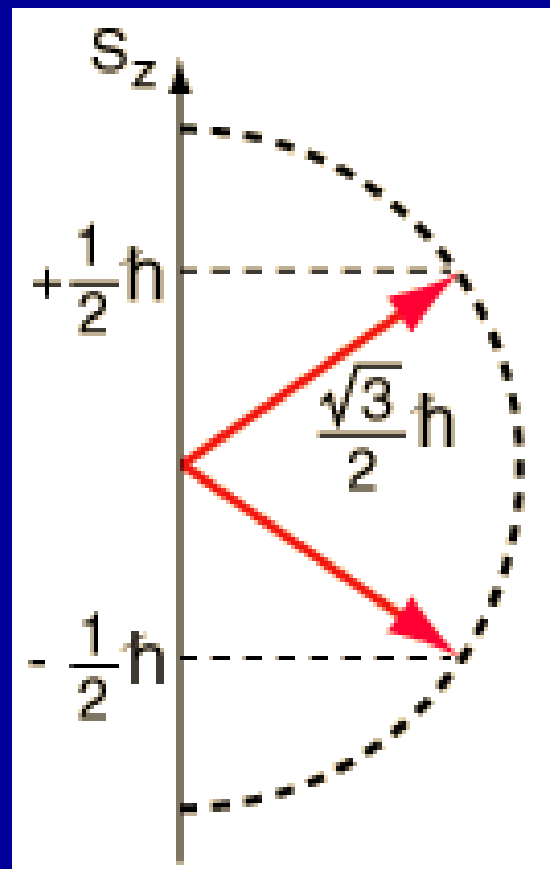
Pícka s Ag

S = spinový
moment
hybnosti



Spin je kvantová
vlastnost částic

Magnetické spinové kvantové číslo m_s

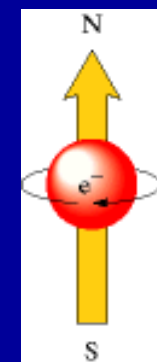
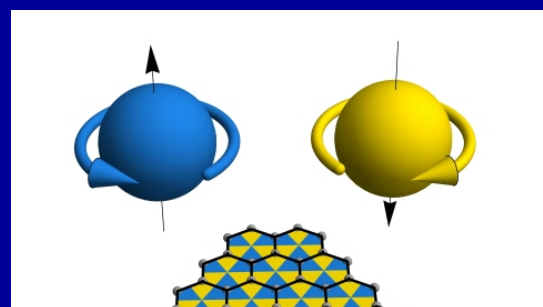


$$S = \hbar/2\pi [s(s+1)]^{1/2}$$

$$s = 1/2$$

$$S_z = m_s \hbar/2\pi$$

$$m_s = \pm 1/2$$

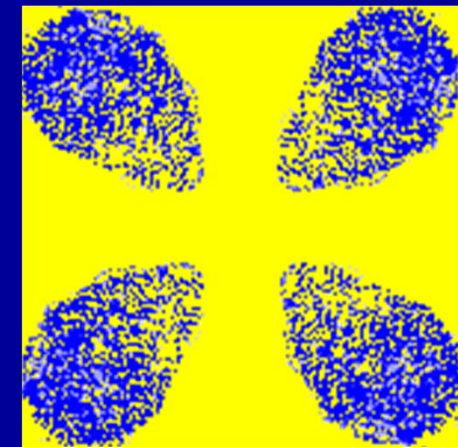
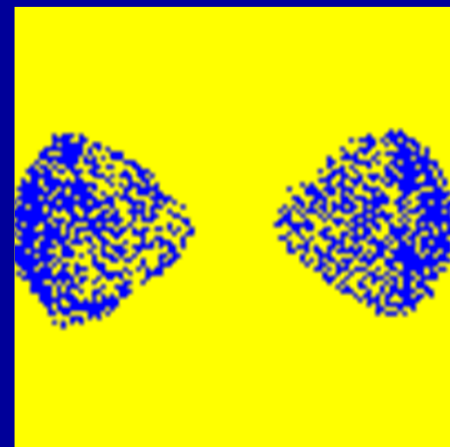
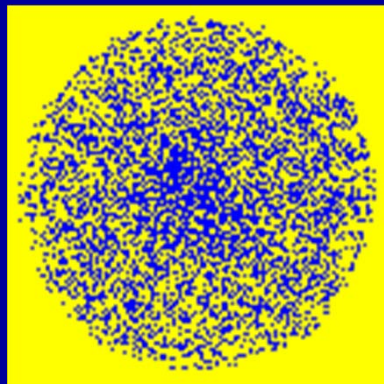


Orbital

Polohu elektronu nelze určit přesně – Heisenbergův princip lze ale stanovit pravděpodobnost výskytu elektronu

Radiální část vlnové funkce určuje pravděpodobnost výskytu e směrem od jádra (do $r = \infty$) a počet nodálních ploch = místa nulové hodnoty distribuční funkce

Angulární část vlnové funkce určuje tvar orbitalu (počet nodálních rovin)

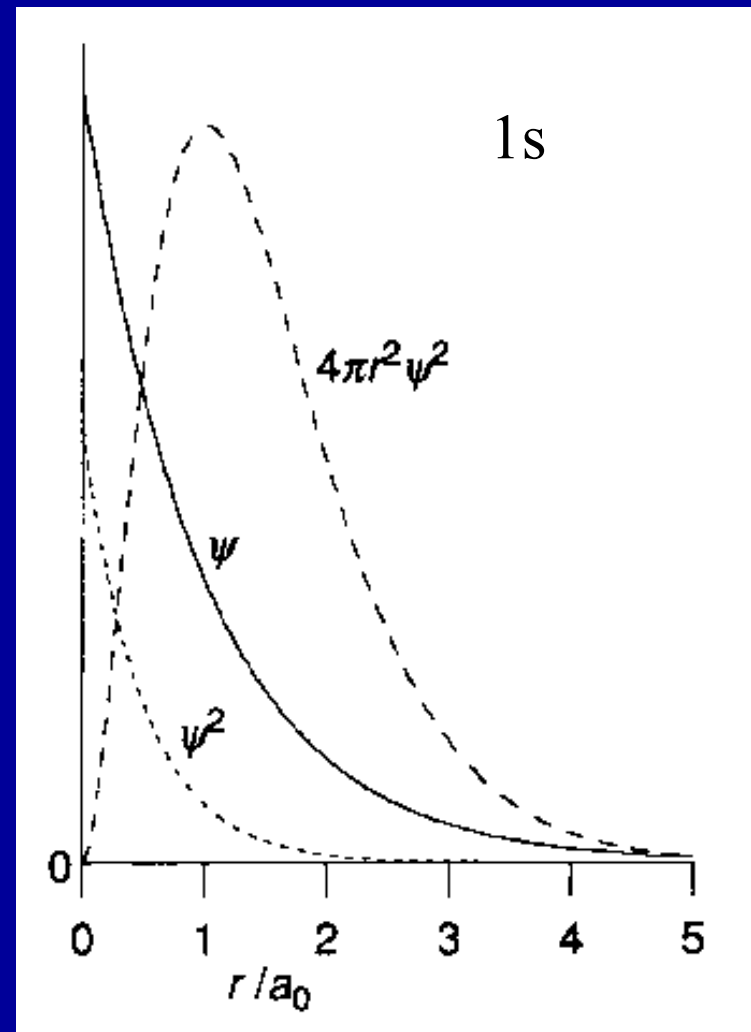


Ψ = vlnová funkce

Vlnové funkce Ψ jsou řešením Schrödingerovy rovnice

$|\Psi|^2$ = hustota pravděpodobnosti výskytu **elektronu**

$|\Psi|^2 dV$ = pravděpodobnost výskytu **elektronu** v objemu dV
= rozložení elektronové hustoty



Pravděpodobnost výskytu elektronu

Polární souřadnice

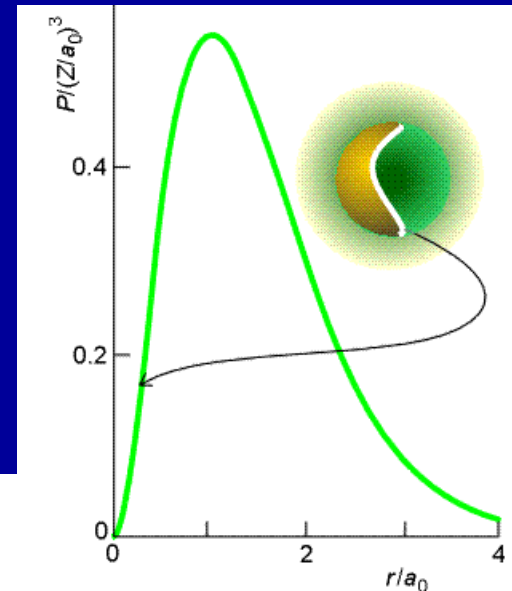
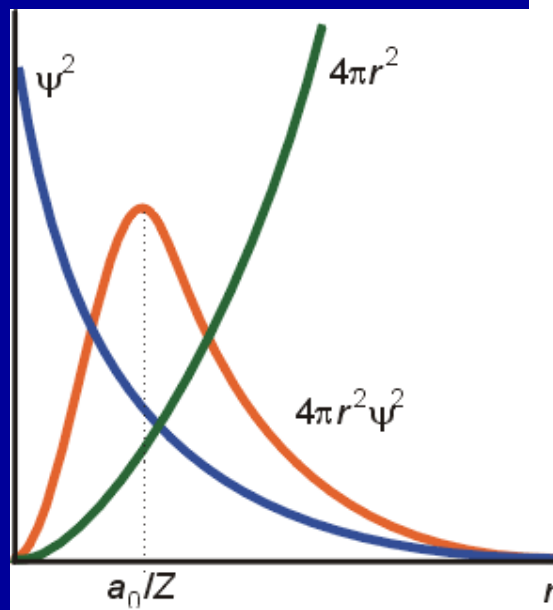
$R_{n,l}(r)$ radiální část vlnové funkce

$dV = 4\pi r^2 dr$ (kulová slupka tloušťky dr)

Radiální distribuční funkce

$$P = 4\pi r^2 |\Psi|^2 dr = 4\pi r^2 R_{n,l}^2(r) dr$$

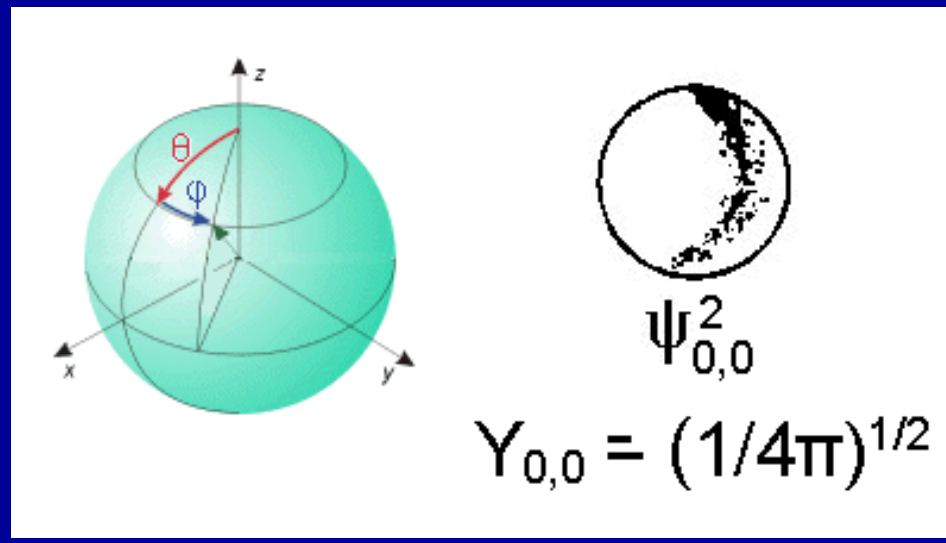
P = Pravděpodobnost
výskytu elektronu v objemu
tvaru kulové slupky
tloušťky dr ve vzdálenosti r



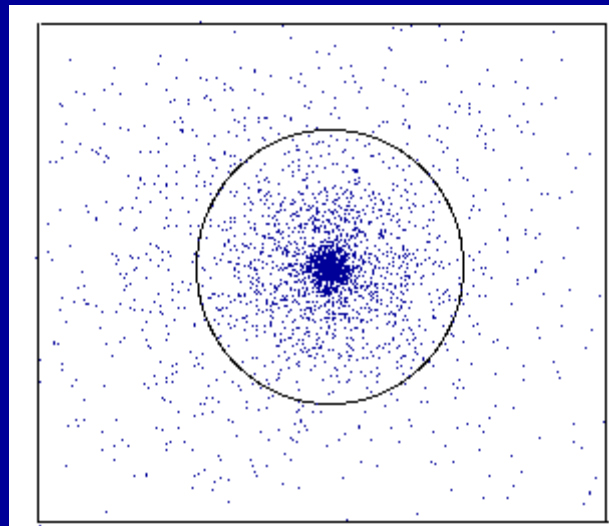
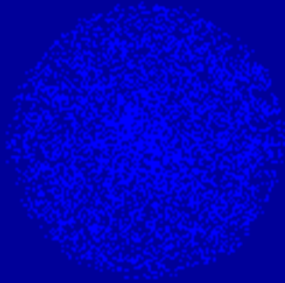
s - orbitaly

$R_{n,l}(r)$ = radiální část vlnové funkce, závisí jen na vzdálenosti od jádra r

$\chi_{l,m}(\theta, \phi)$ = angulární (úhlová) část vlnové funkce, je **konstanta** pro s-orbitaly ($l = 0$) = KULOVÝ TVAR

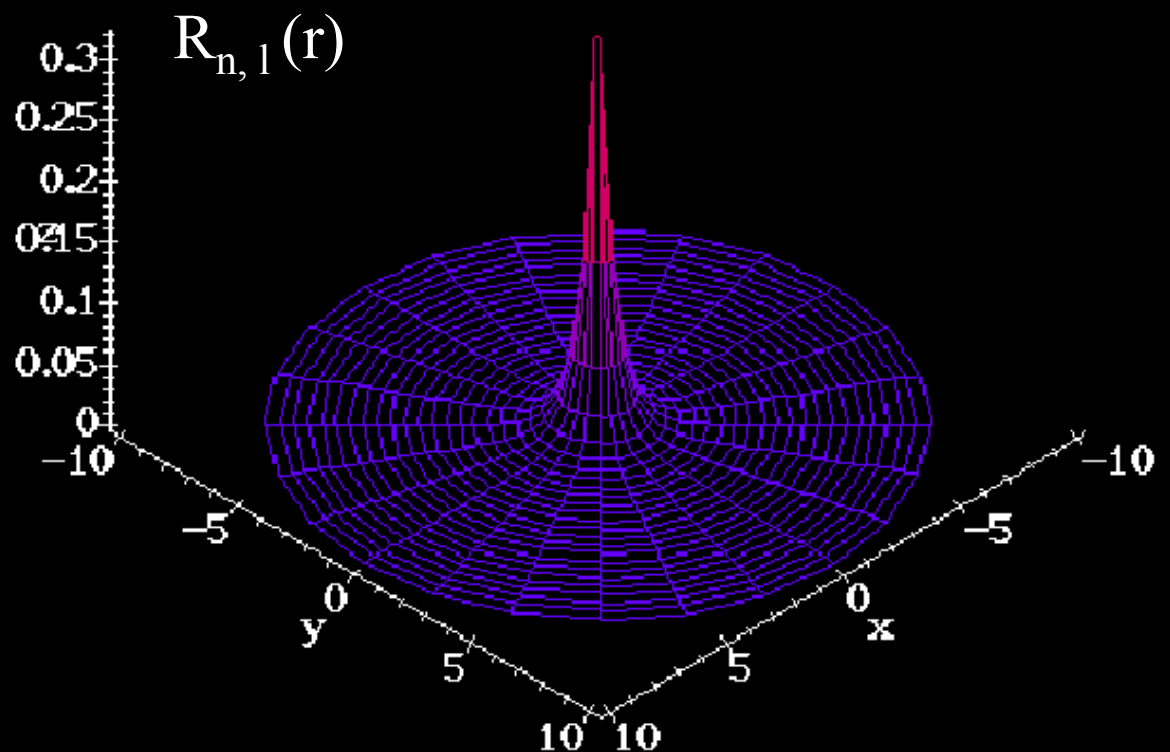


Atomový orbital 1s

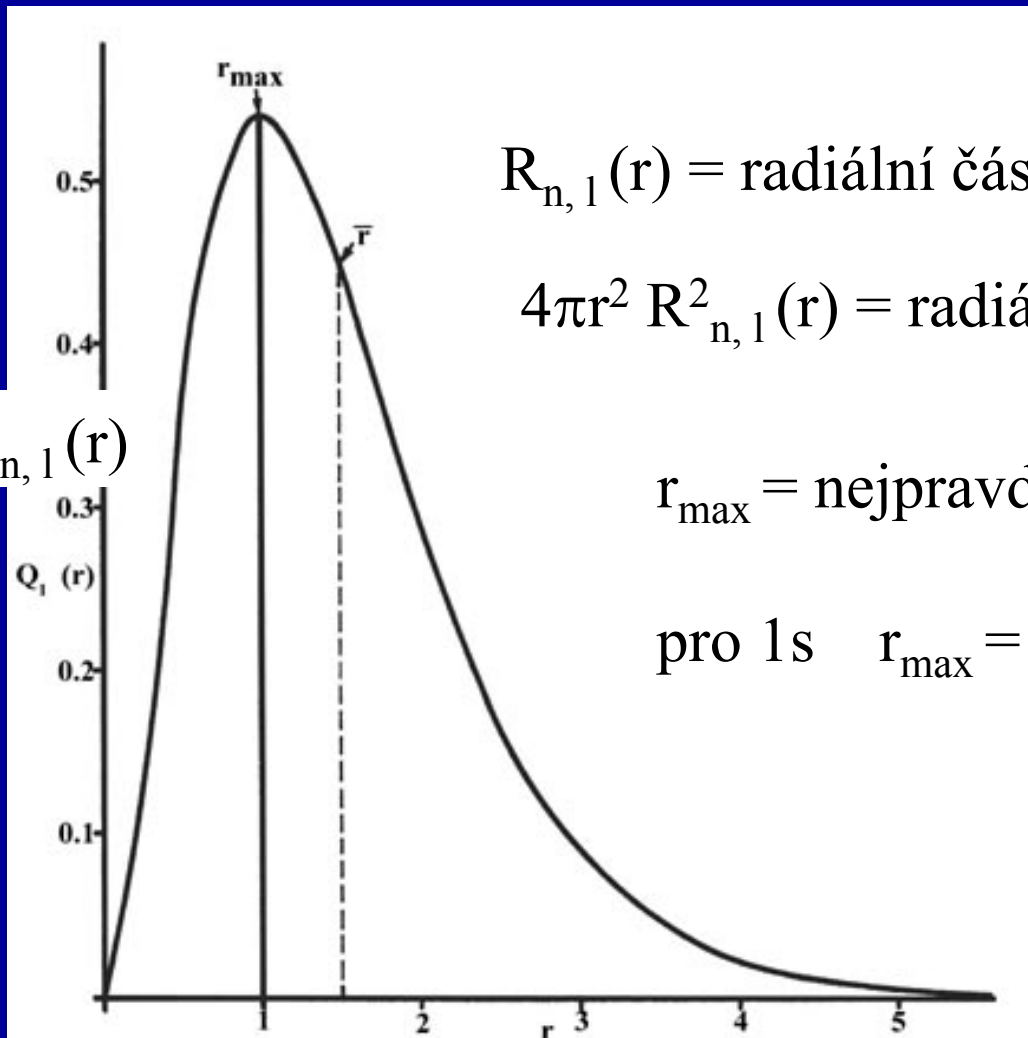


Vlnová funkce 1s

$n = 1, l = 0$



Radiální distribuční funkce



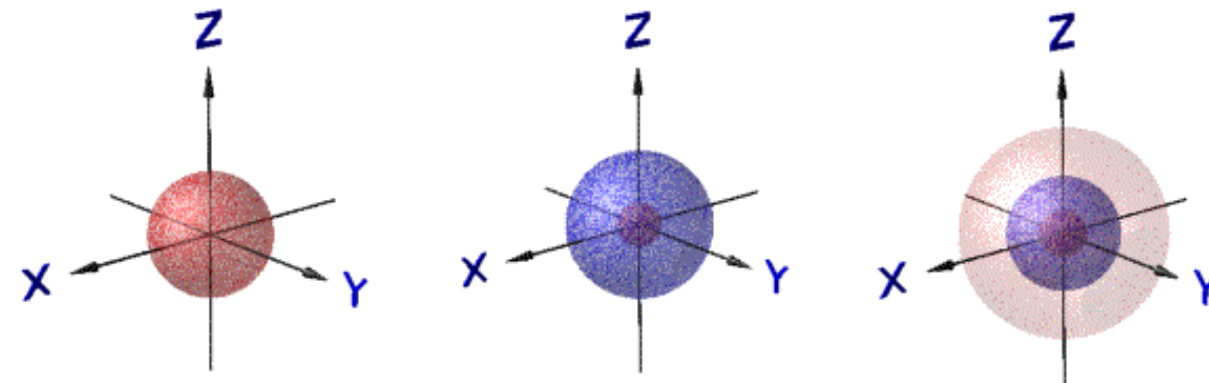
$R_{n,l}(r)$ = radiální část vlnové funkce atomu H

$4\pi r^2 R^2_{n,l}(r)$ = radiální distribuční funkce

r_{max} = nejpravděpodobnější poloměr

pro 1s $r_{max} = a_0$ Bohrův poloměr

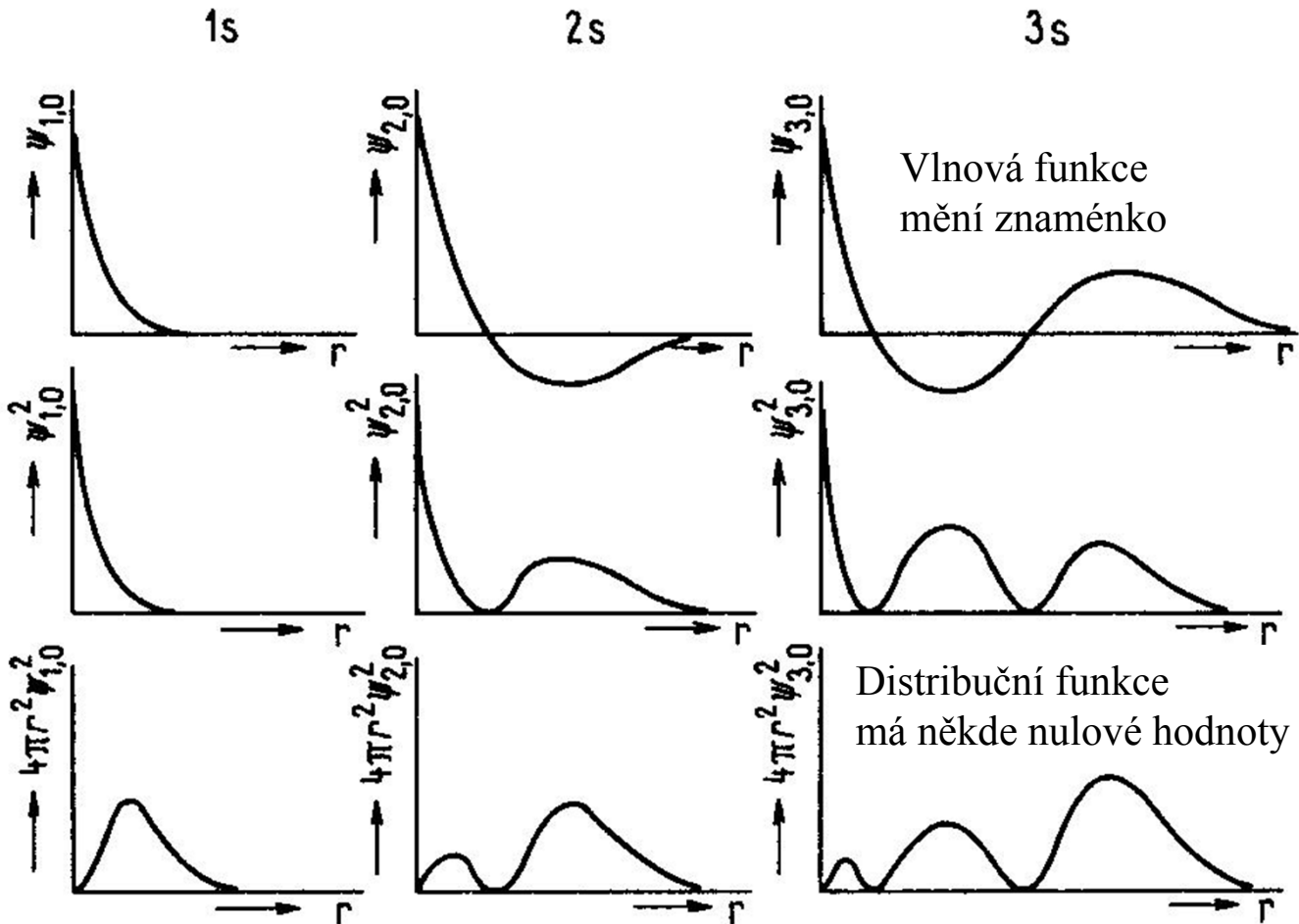
Orbital

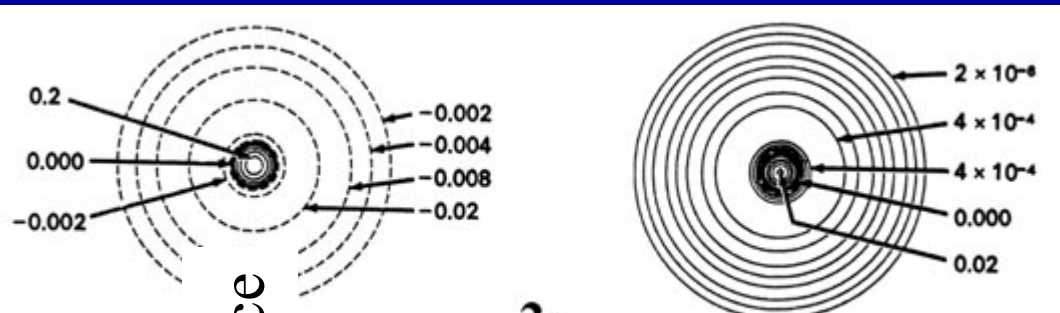


Vlnová funkce

Hustota
pravděpodobnosti

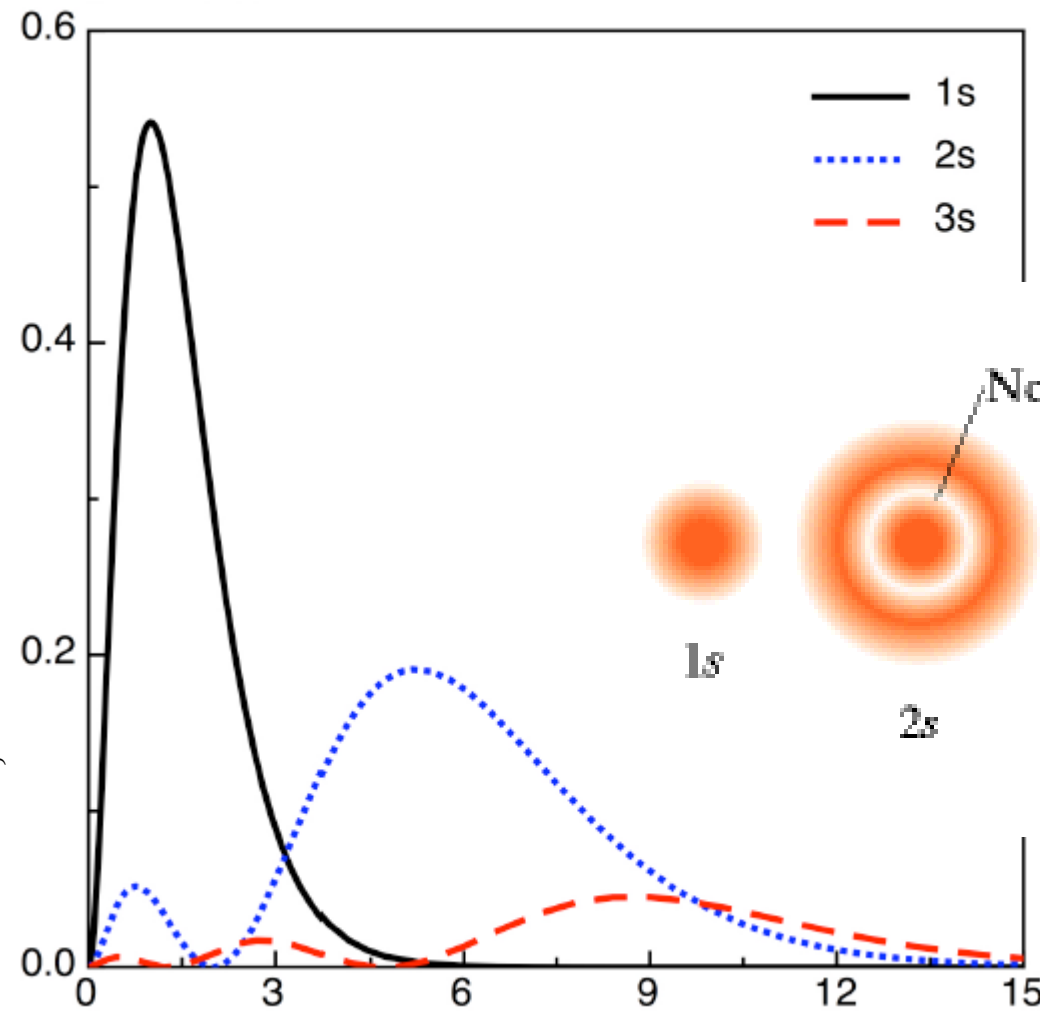
Radiální rozložení
(distribuční fce)



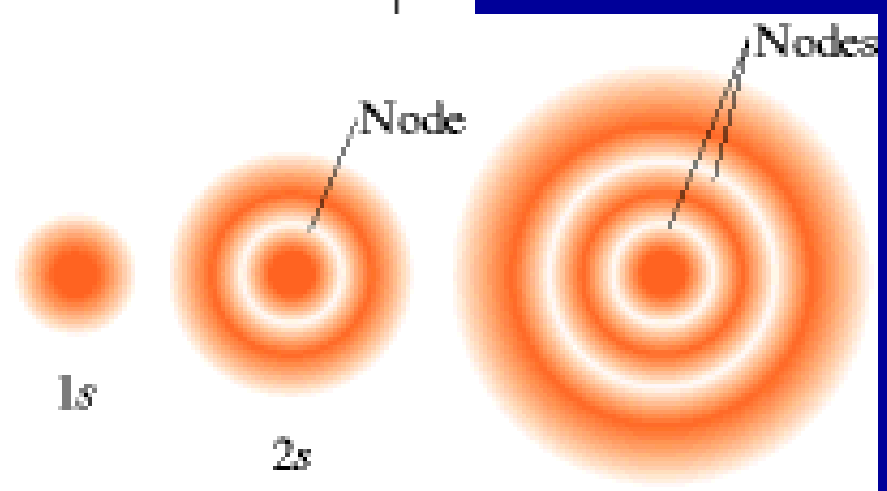


$2s$

$4\pi r^2 R_{n,l}^2(r)$ = radiální distribuční funkce



- 1s
- 2s
- - - 3s



1s

2s

3s

Nodes

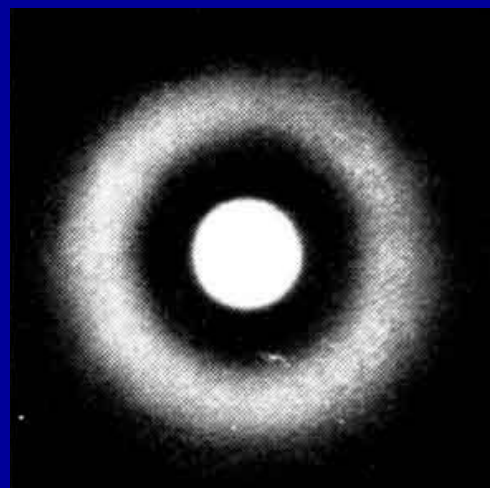
Nodes

24

Uzlové (nodální) plochy v radiální distribuční funkci

Uzlová (nodální) plocha

- Vlnová funkce mění znaménko
- Radiální distribuční funkce nabývá nulové hodnoty

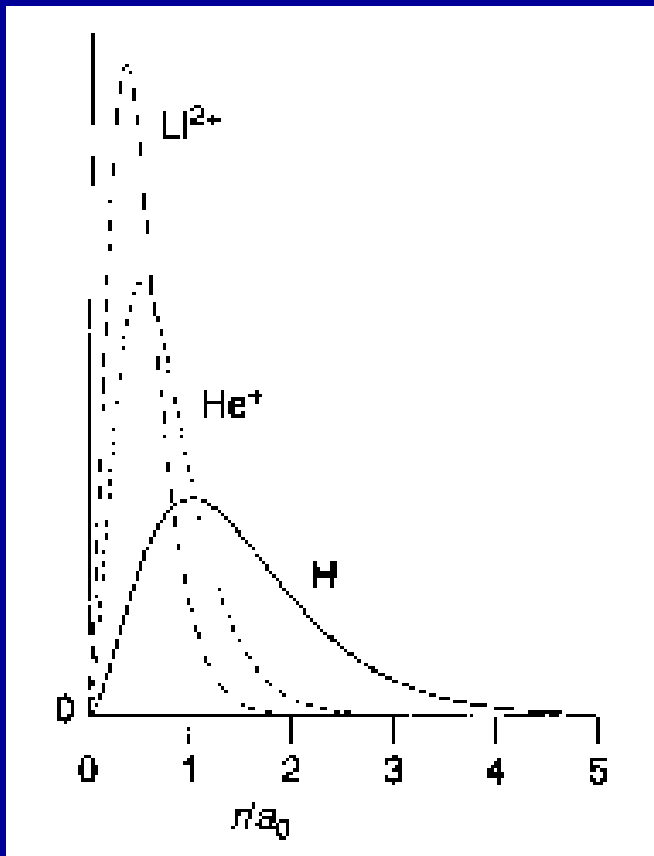


Počet kulových uzlových (nodálních) ploch = $n - l - 1$

Účinek Z na radiální část vlnové funkce s

$$R_{n,l}(r) = 2 \sqrt{\left(\frac{Z}{a_0}\right)^3} \exp\left(-\frac{Zr}{a_0}\right)$$

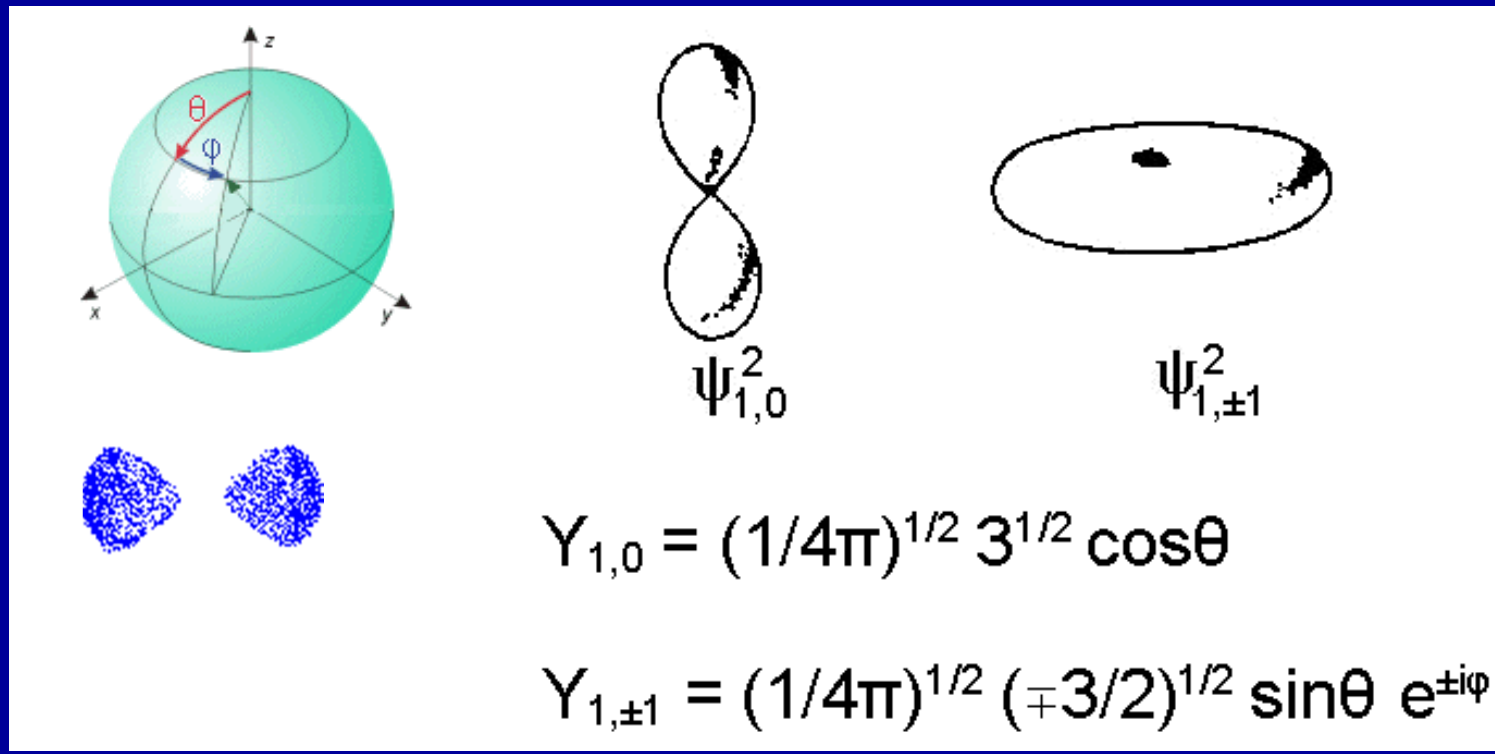
Radiální distribuční funkce 1s



S rostoucím nábojem jádra Z se poloha maxima pravděpodobnosti výskytu e přibližuje k jádru

Angulární část vlnové funkce p orbitalů

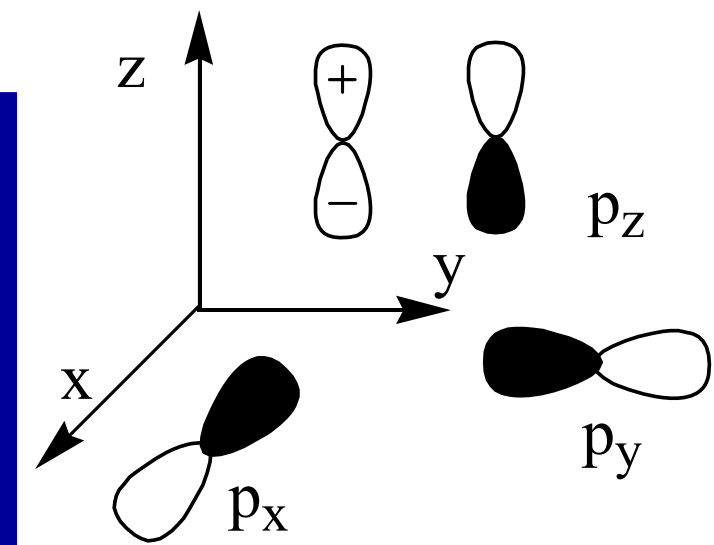
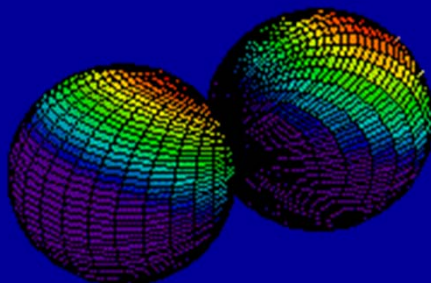
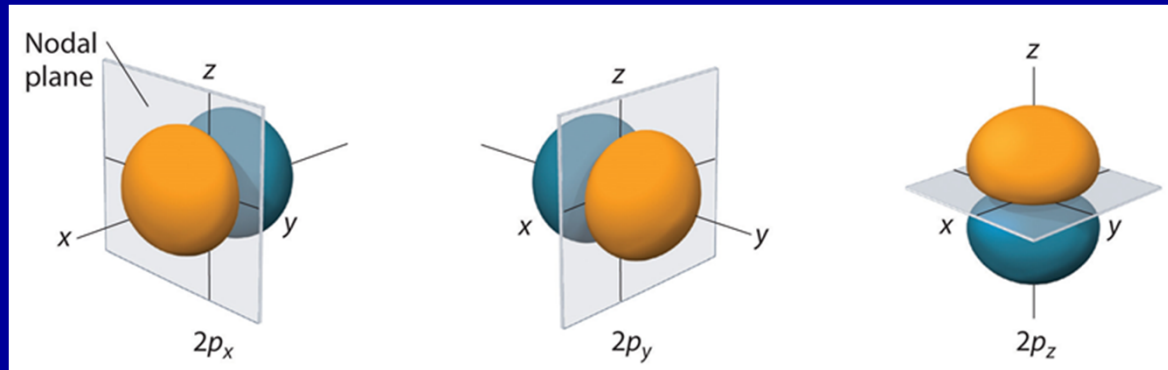
Angulární část vlnové funkce určuje tvar orbitalu
Stejná pro všechny hodnoty n



p - orbitaly

$n = 2, l = 1, m = 1, 0, -1$

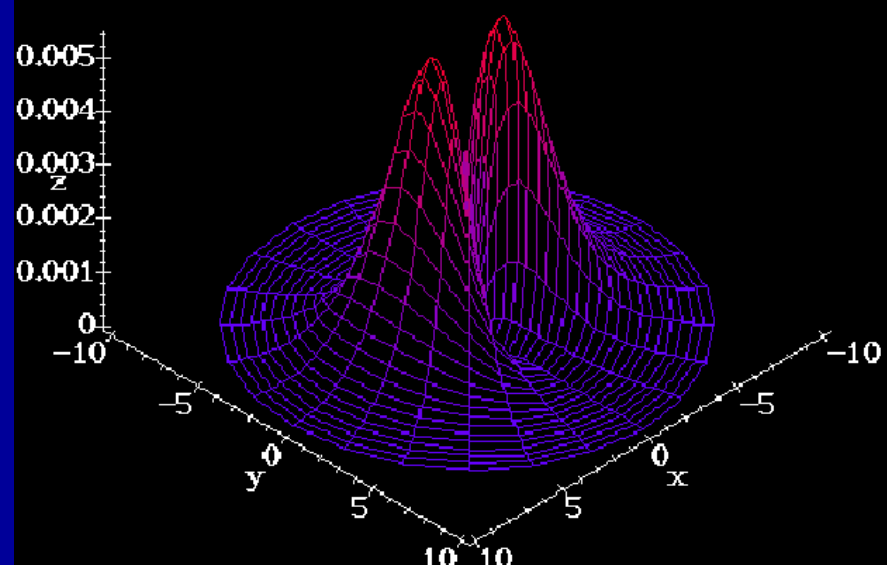
Angulární část vlnové funkce určuje tvar
Stejná pro všechny hodnoty n



2p - orbitaly

2p orbital: n=2,l=1,m=0

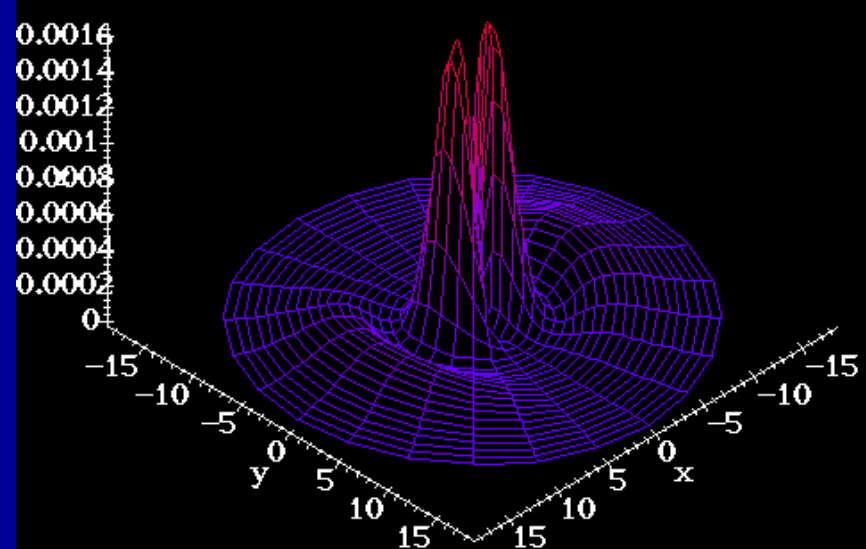
$$n = 2, l = 1, m = 0$$

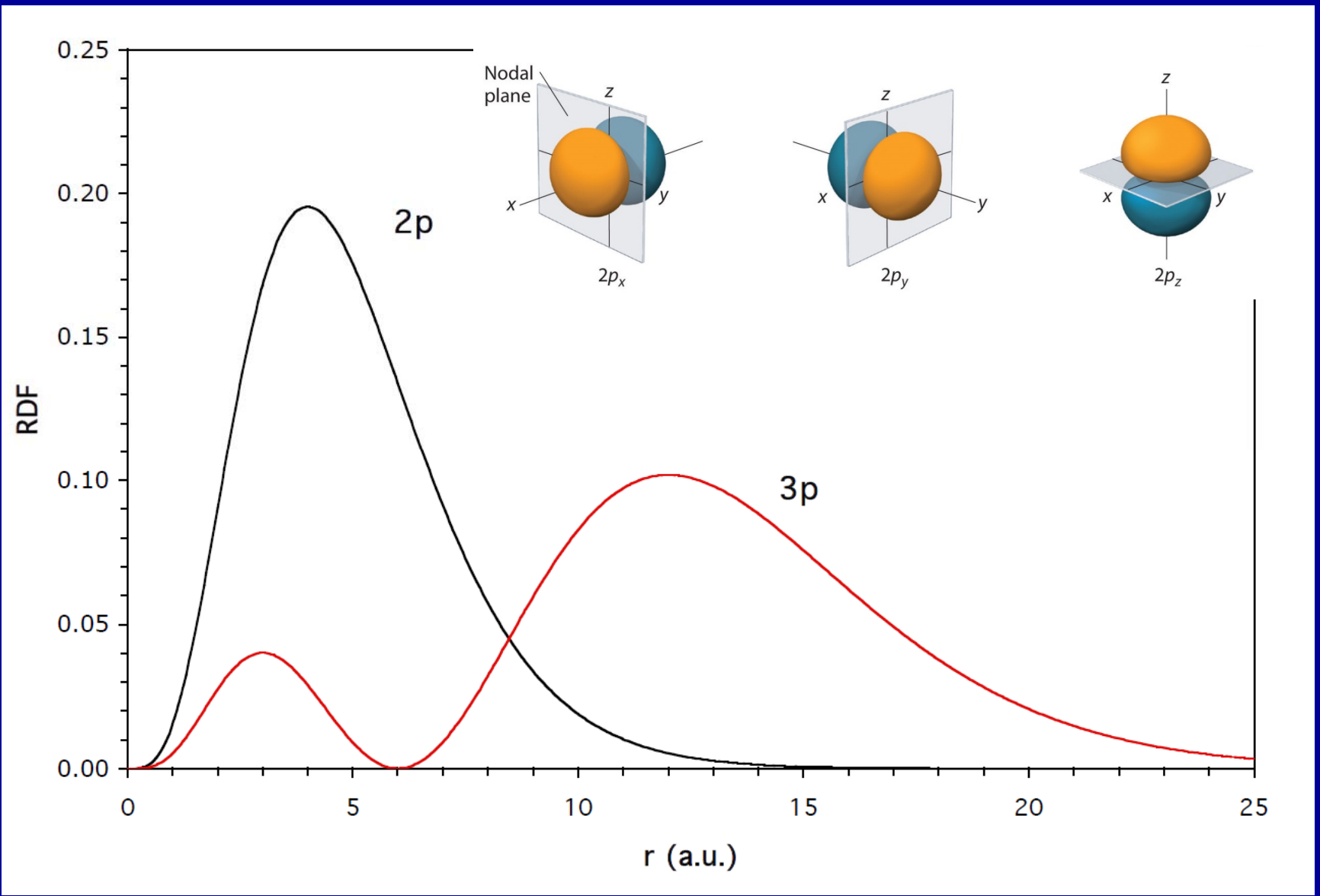


3p - orbitaly

3p orbital: n=3,l=1,m=0

$$n = 3, l = 1, m = 0$$

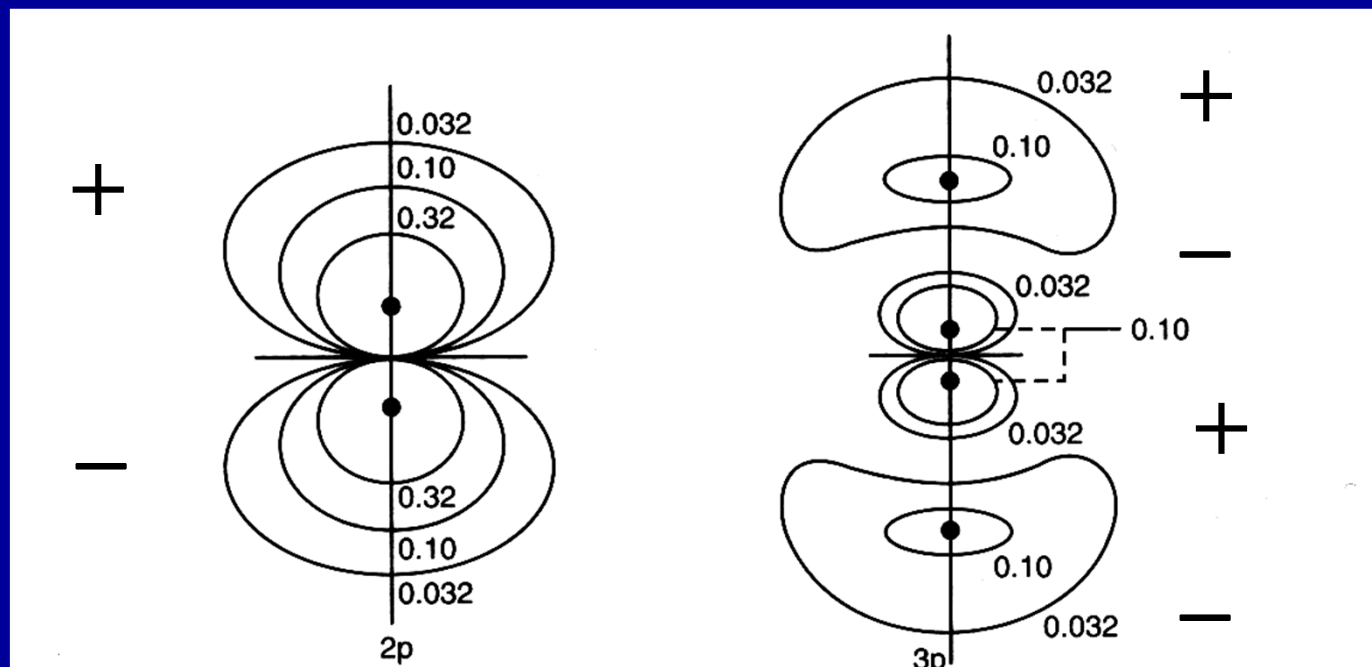




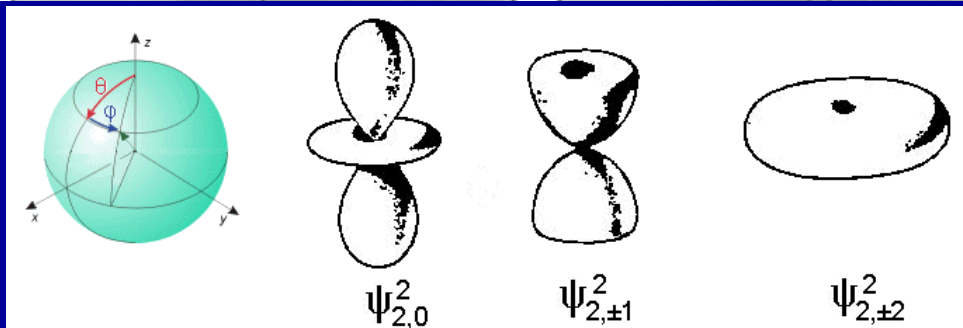
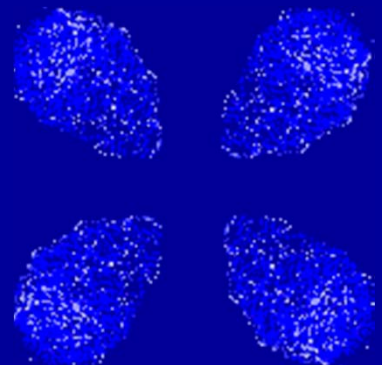
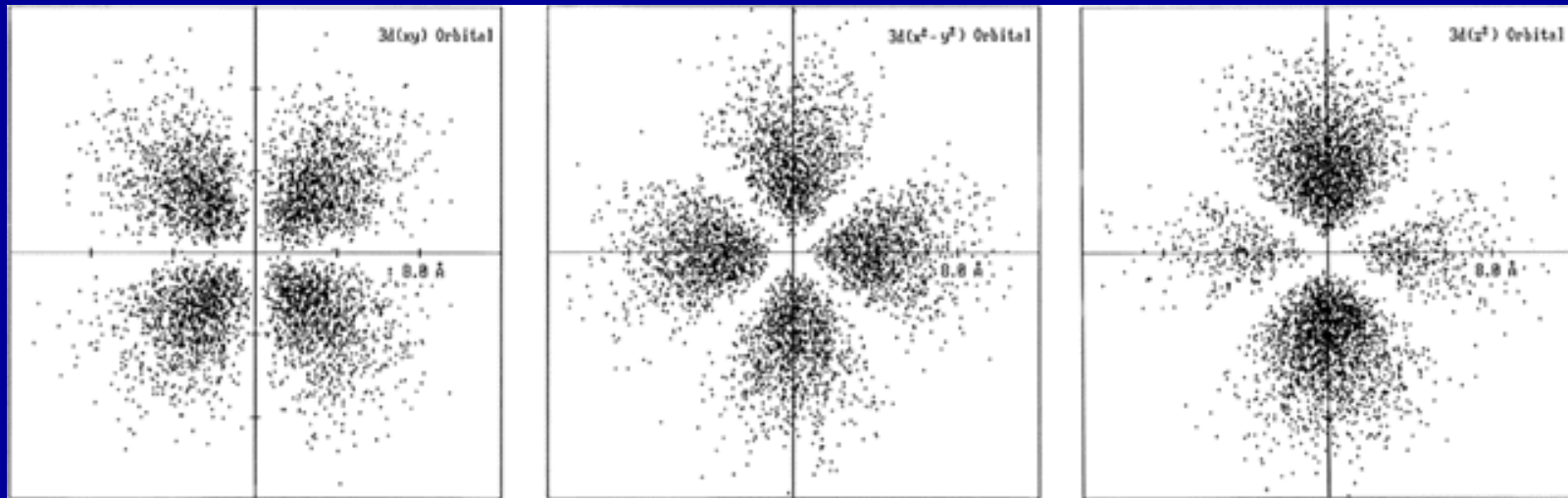
2p - orbitaly

3p - orbitaly

Vlnové funkce = Radiální \times Angulární část



Angulární část vlnové funkce d orbitalů

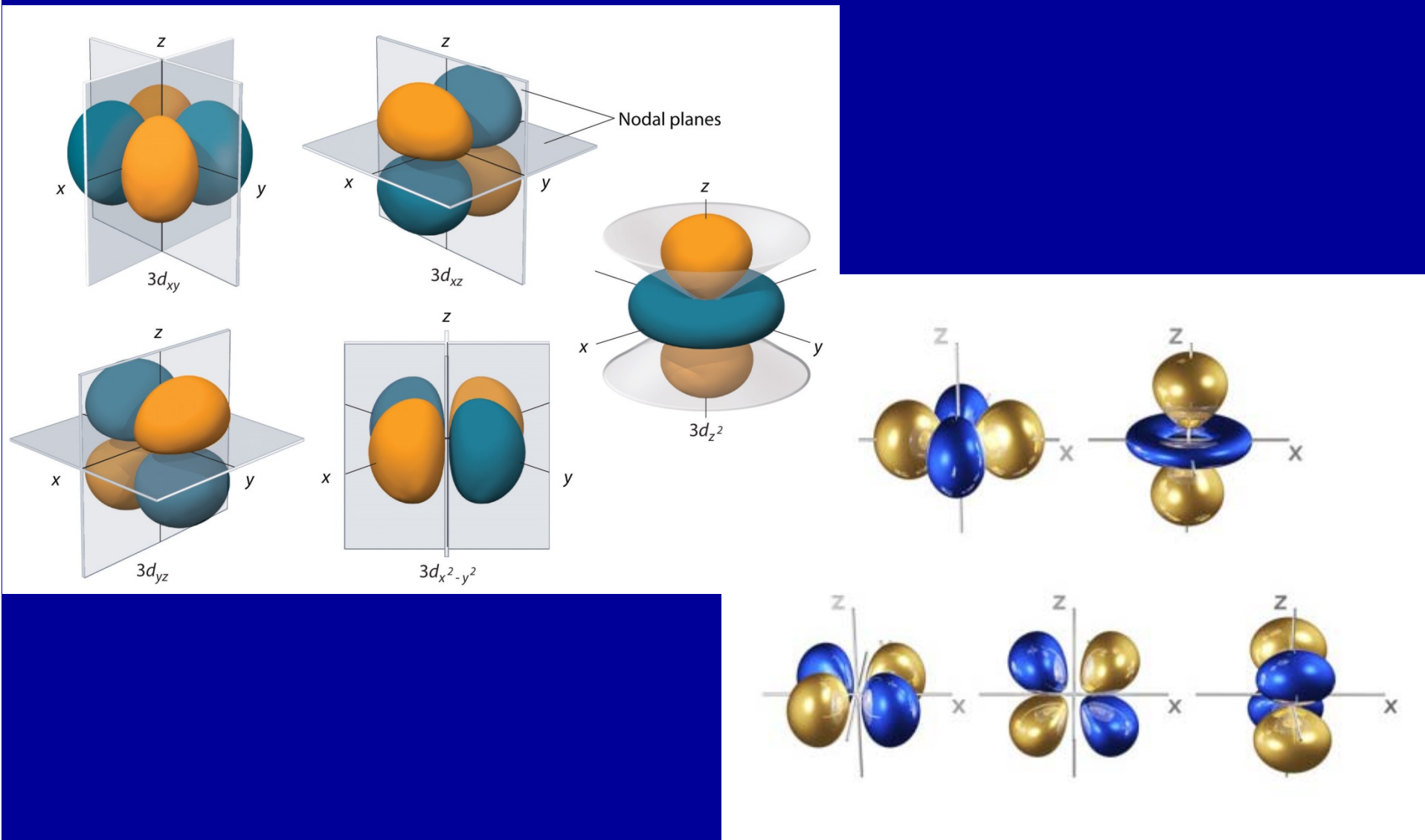


$$Y_{2,0} = (1/4\pi)^{1/2} (5/4)^{1/2} (3\cos^2\theta - 1)$$

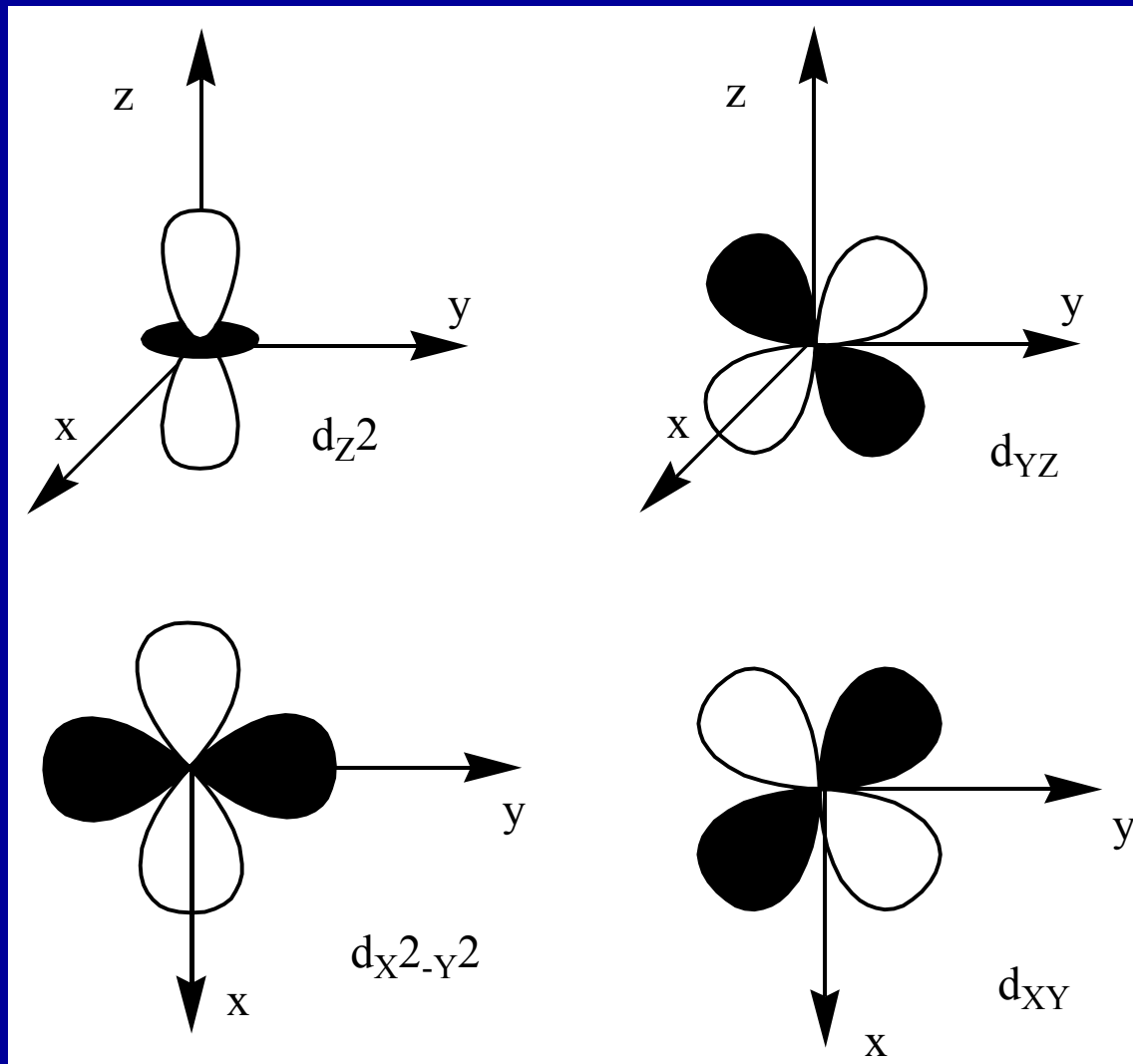
$$Y_{2,\pm 1} = (1/4\pi)^{1/2} (\mp 15/4)^{1/2} \cos\theta \sin\theta e^{\pm i\varphi}$$

$$Y_{2,\pm 2} = (1/4\pi)^{1/2} (15/8)^{1/2} \sin^2\theta e^{\pm 2i\varphi}$$

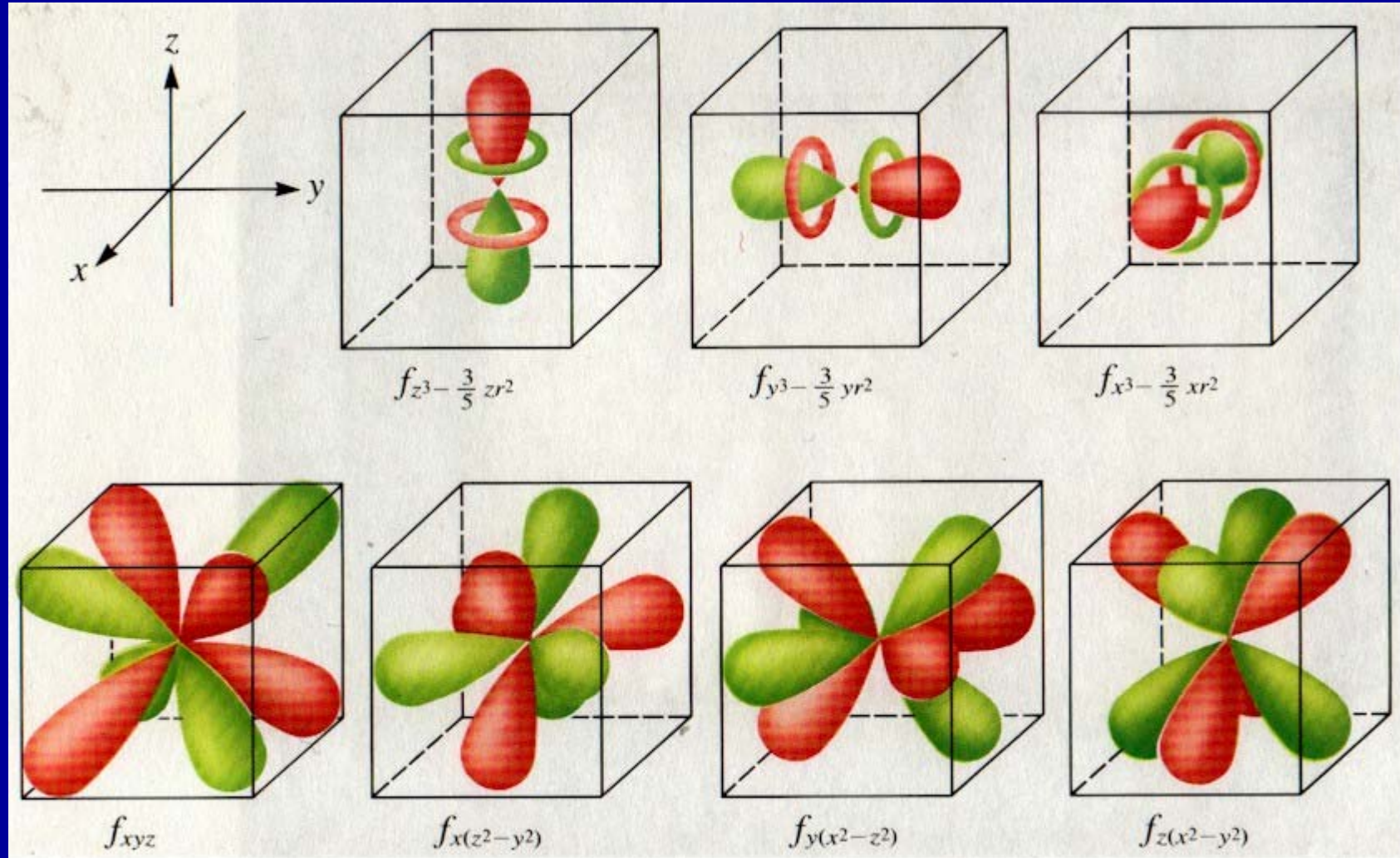
d - orbitaly



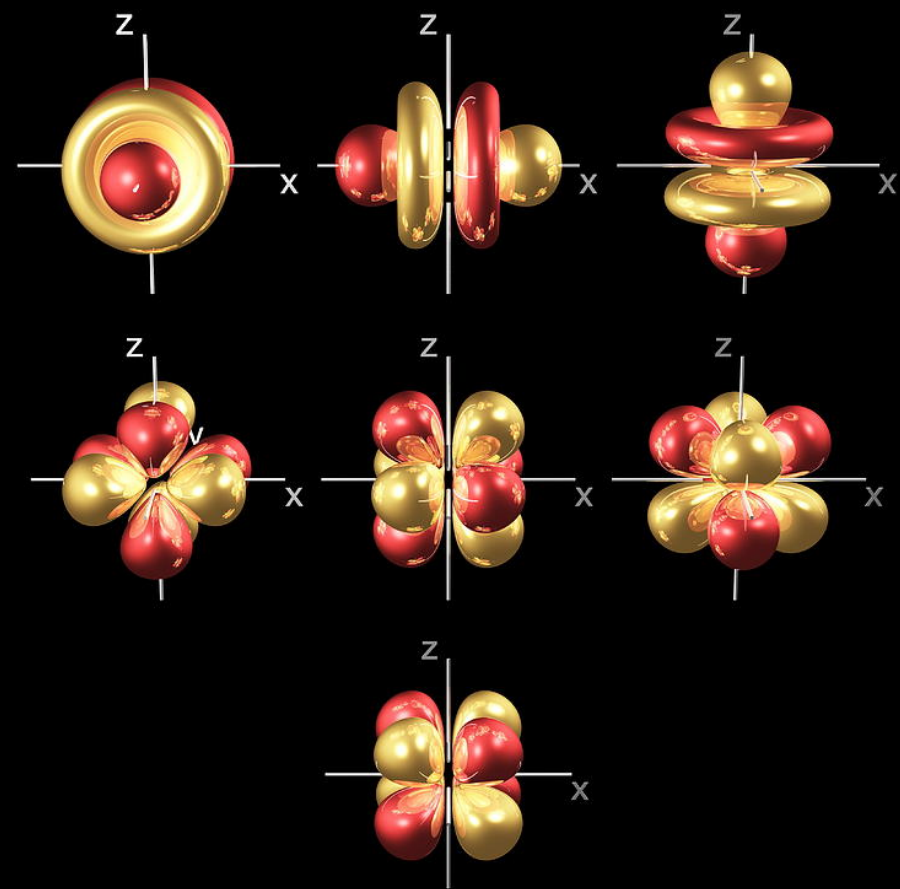
d - orbitaly



f - orbitals



f - orbitaly

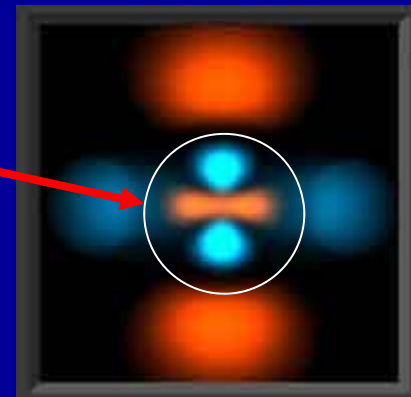


Uzlové (nodální) plochy a roviny

Kulové uzlové (nodálních) plochy = $n - l - 1$

Platí pro s, p, d, f,....

radiální (n, l) část vlnové funkce



Uzlové (nodální) roviny

angulární (l, m_l) části vlnové funkce :

Orbital Počet

s 0

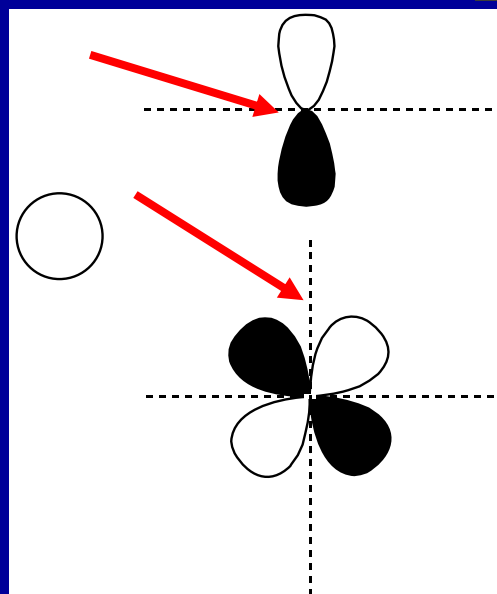
p 1

d 2

f 3

• •

• •



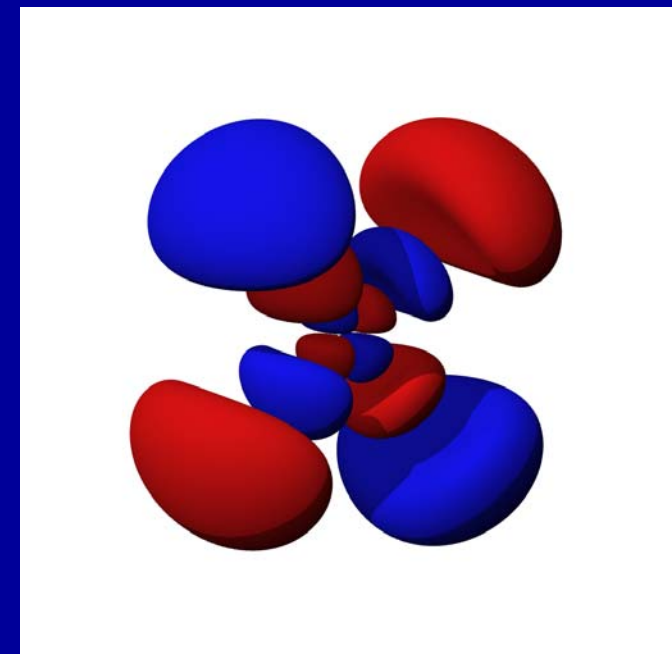
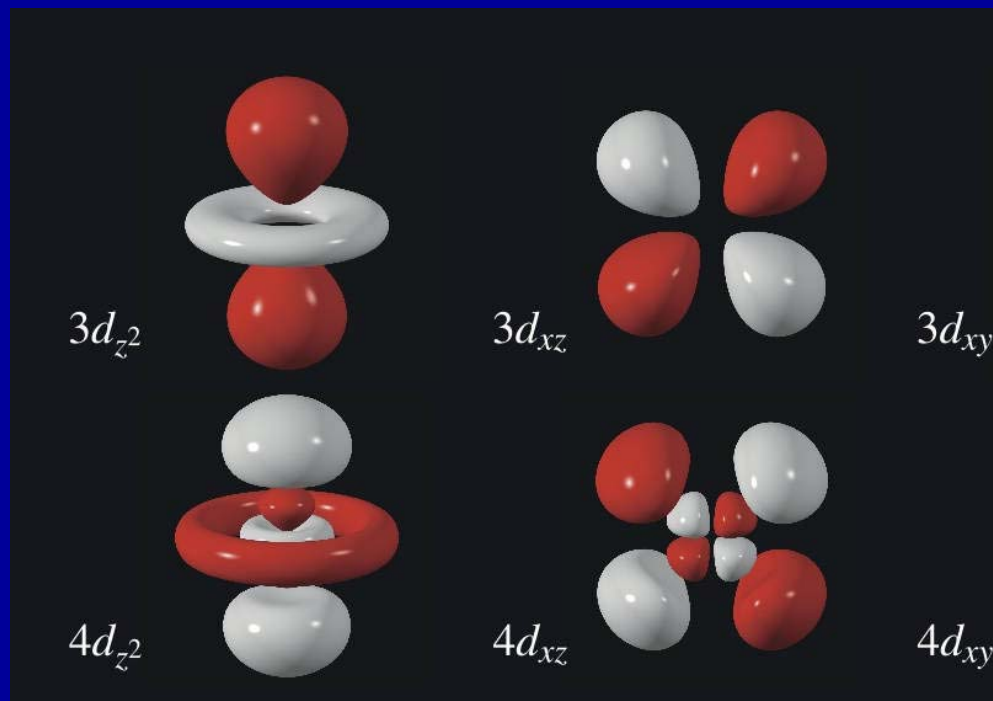
Pouze s-orbitaly
mají nenulovou
hodnotu vlnové
funkce na jádře

Uzlové (nodální) plochy a roviny

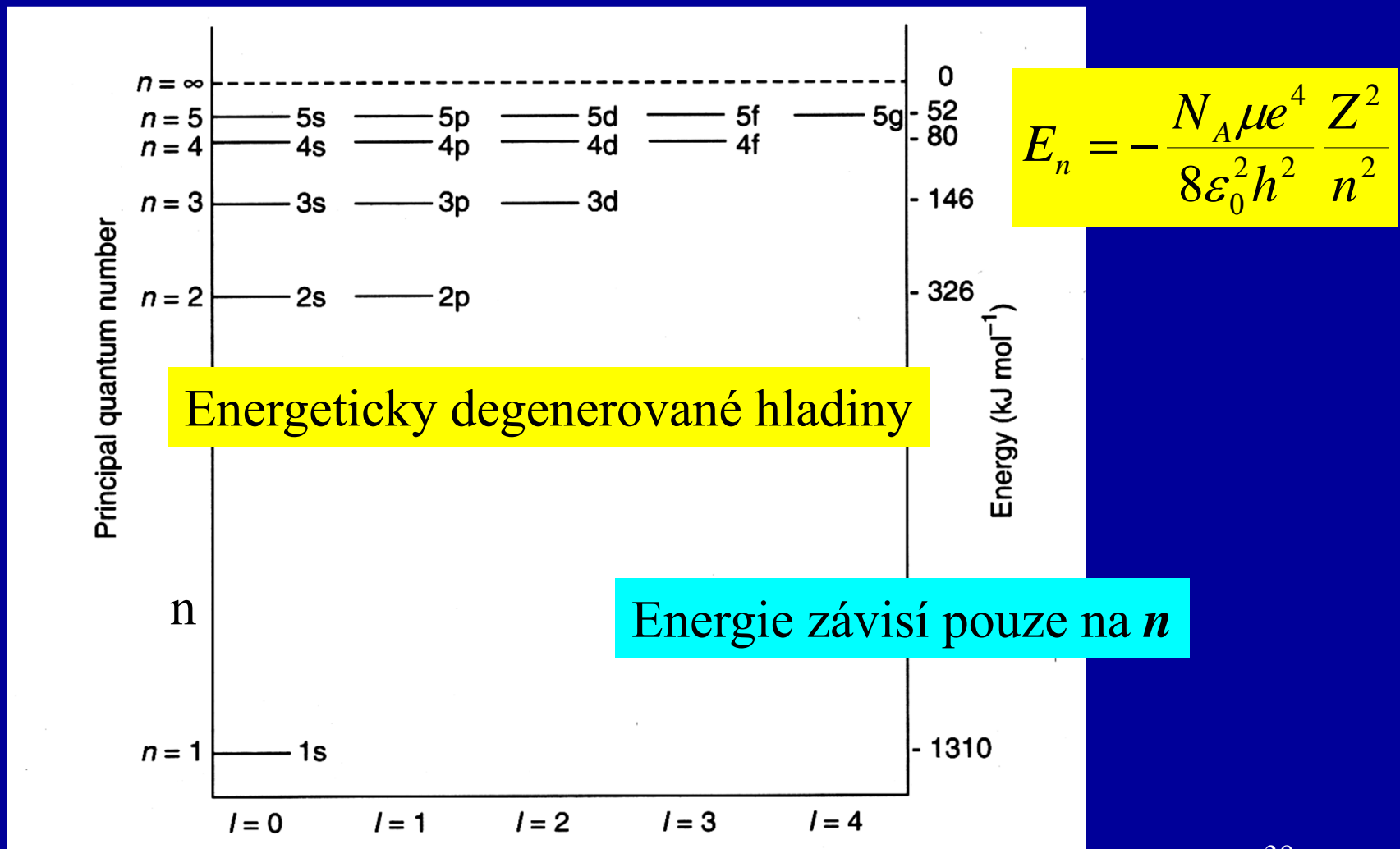
Kulové uzlové (nodální) plochy = $n - l - 1$

Platí pro s, p, d, f,...

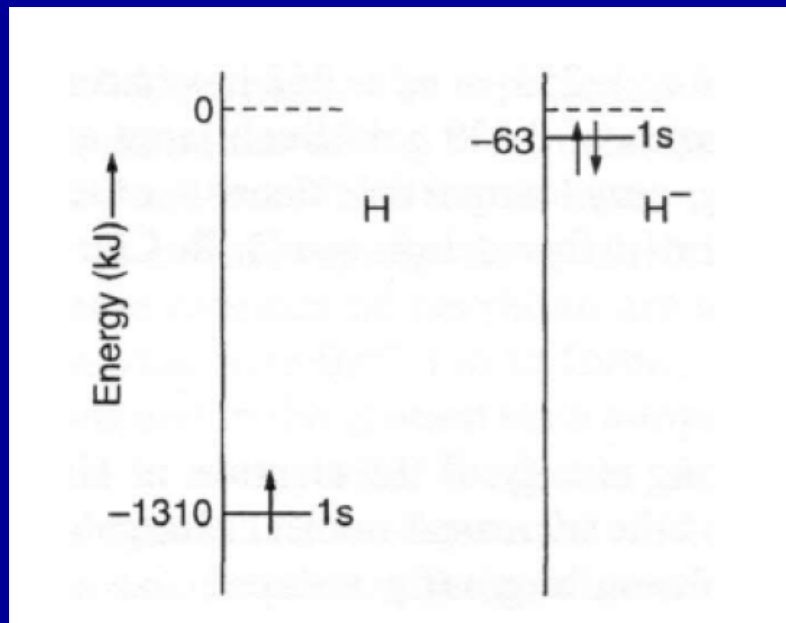
radiální část vlnové funkce



Energie orbitalů v H atomu



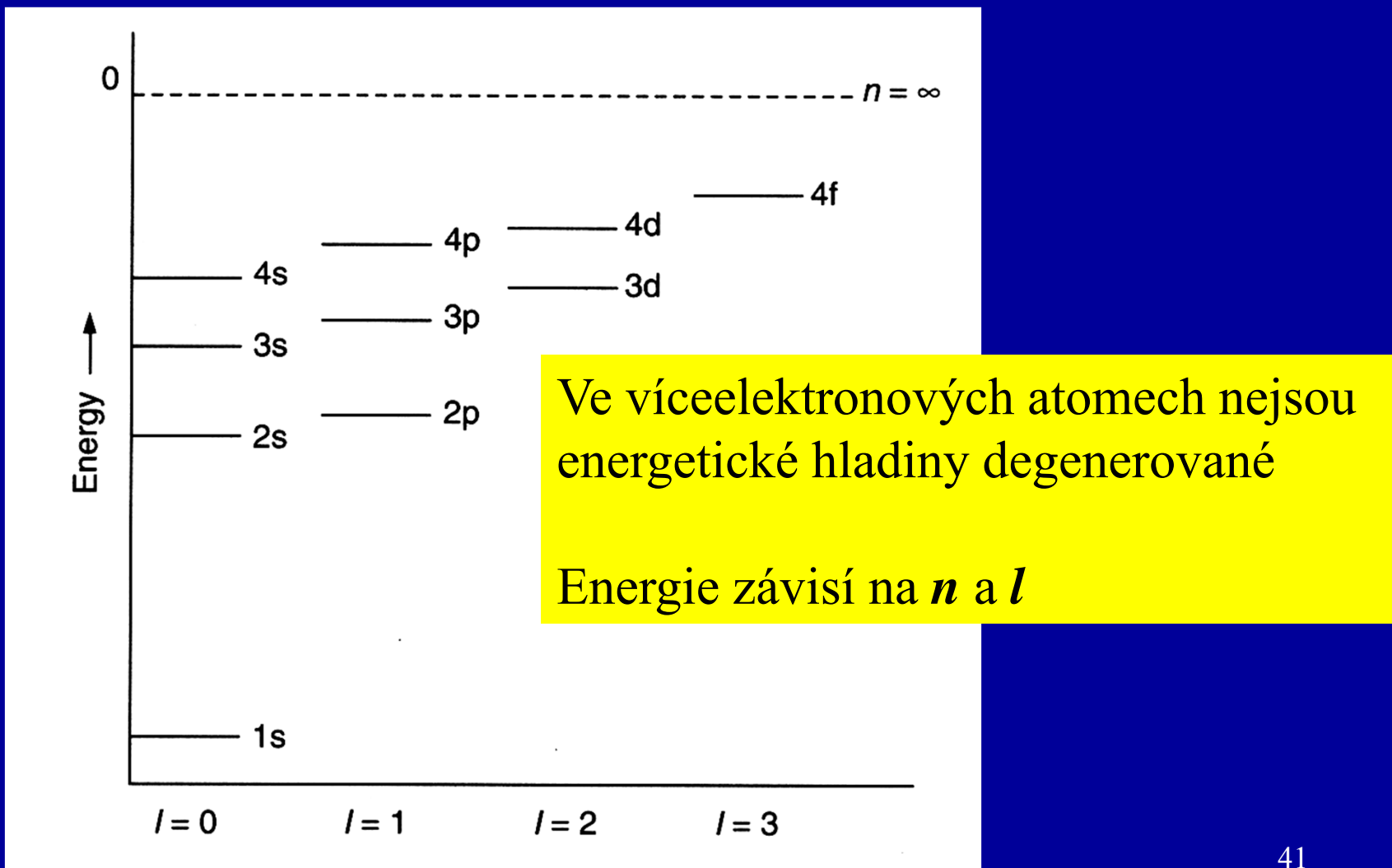
Odpuzování elektronů



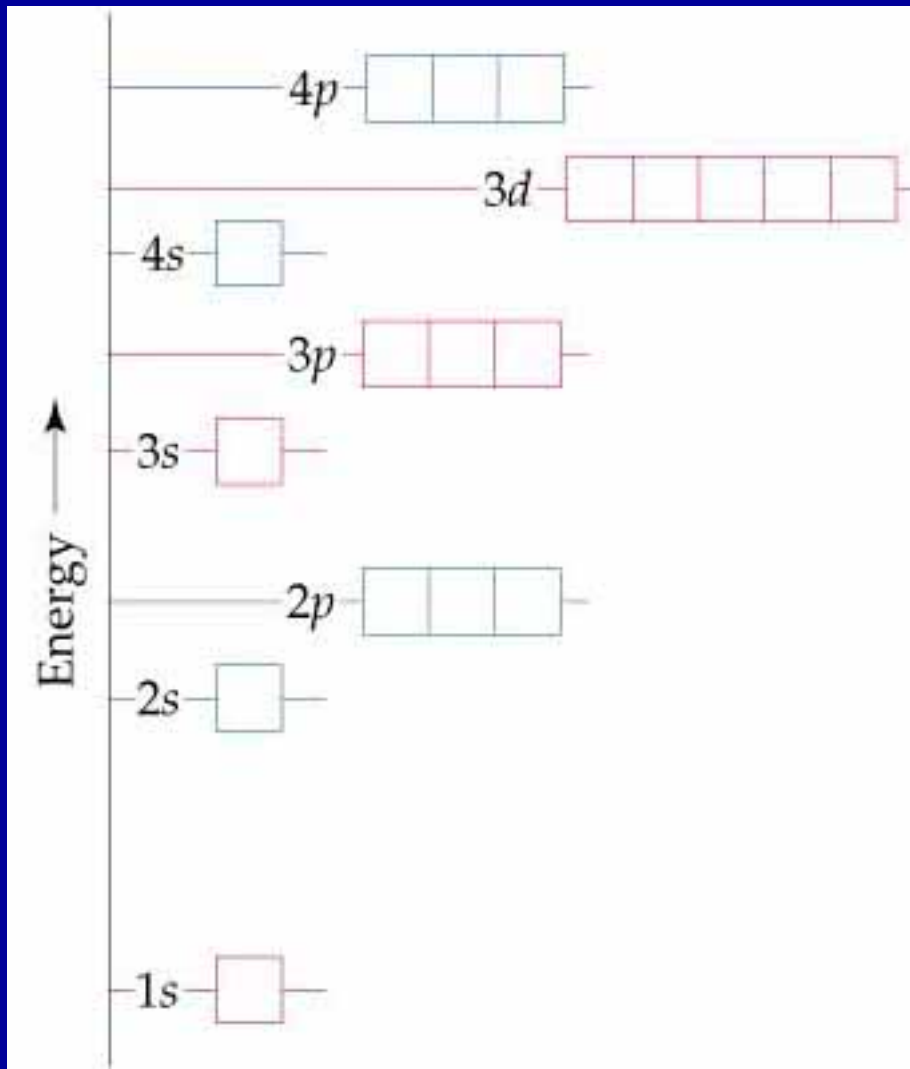
Poloměr atomu H 0.53 Å

Poloměr hydridového aniontu: 1.5 Å

Energie orbitalů ve víceelektronových atomech



Energie orbitalů ve víceelektronových atomech



Stabilnější orbital
(nižší energie)

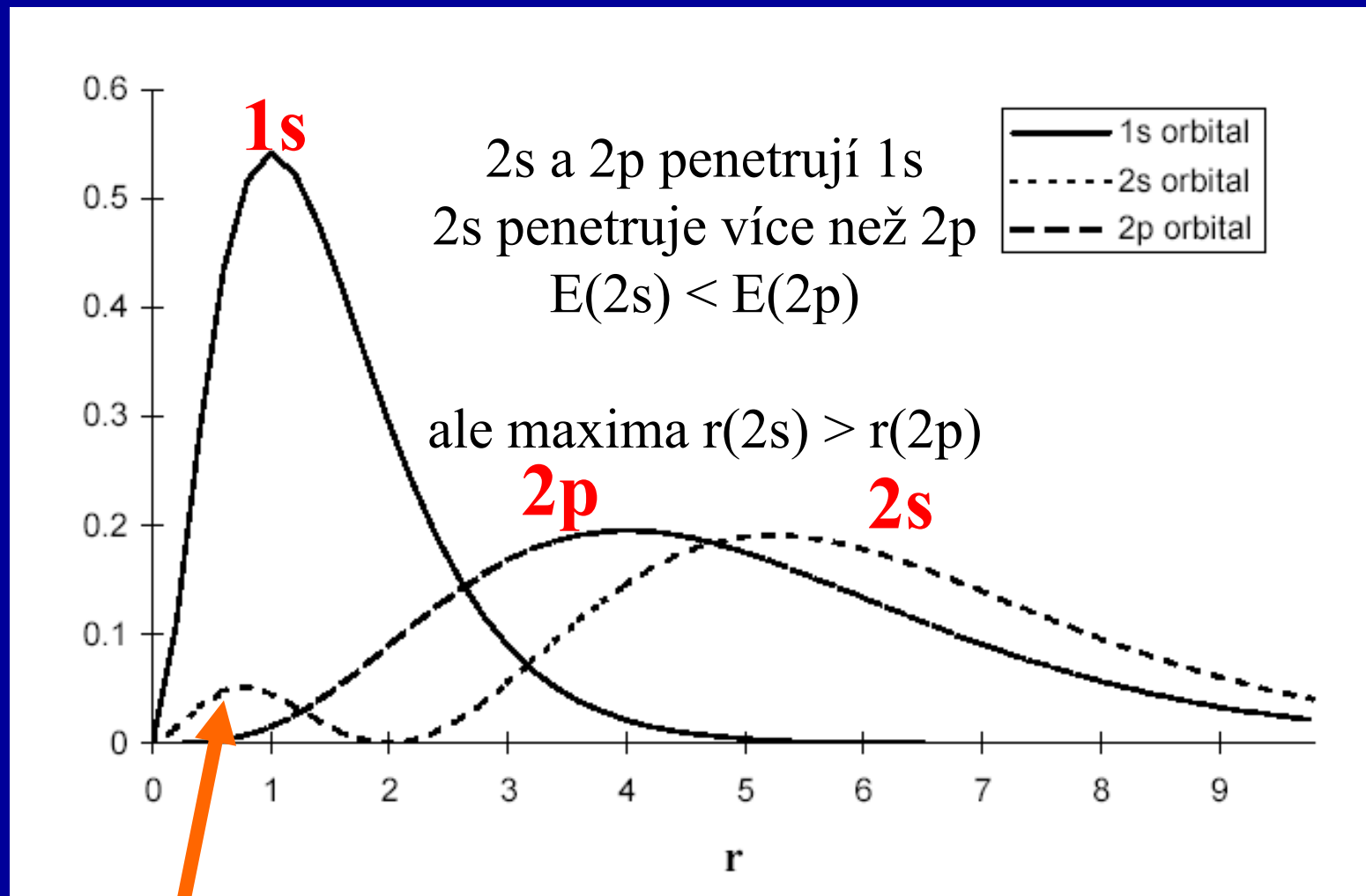
Madelungovo pravidlo
(platí po Ca)

1. Nižší $(n + l)$
2. Při rovnosti $n + l$
nižší n

3p 4s

4p 3d

Víceelektronové atomy – Penetrace a stínění

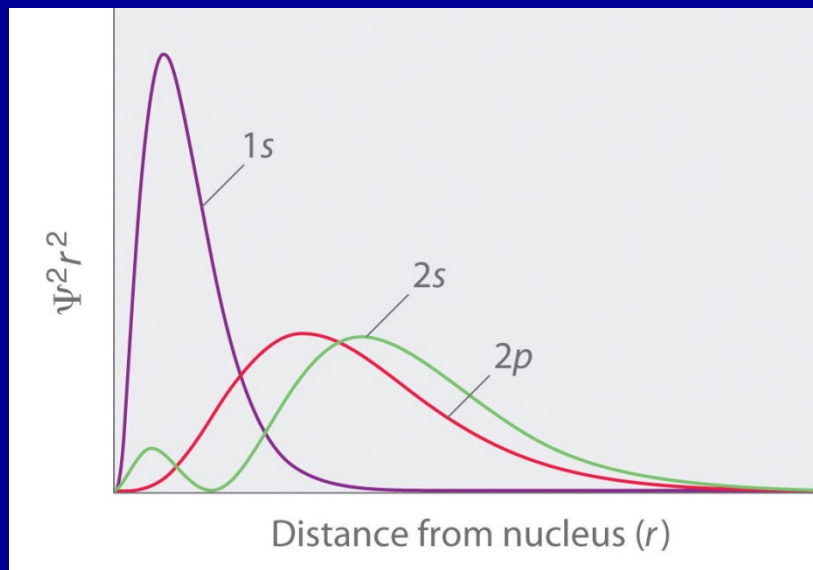


Víceelektronové atomy – Penetrace a stínění

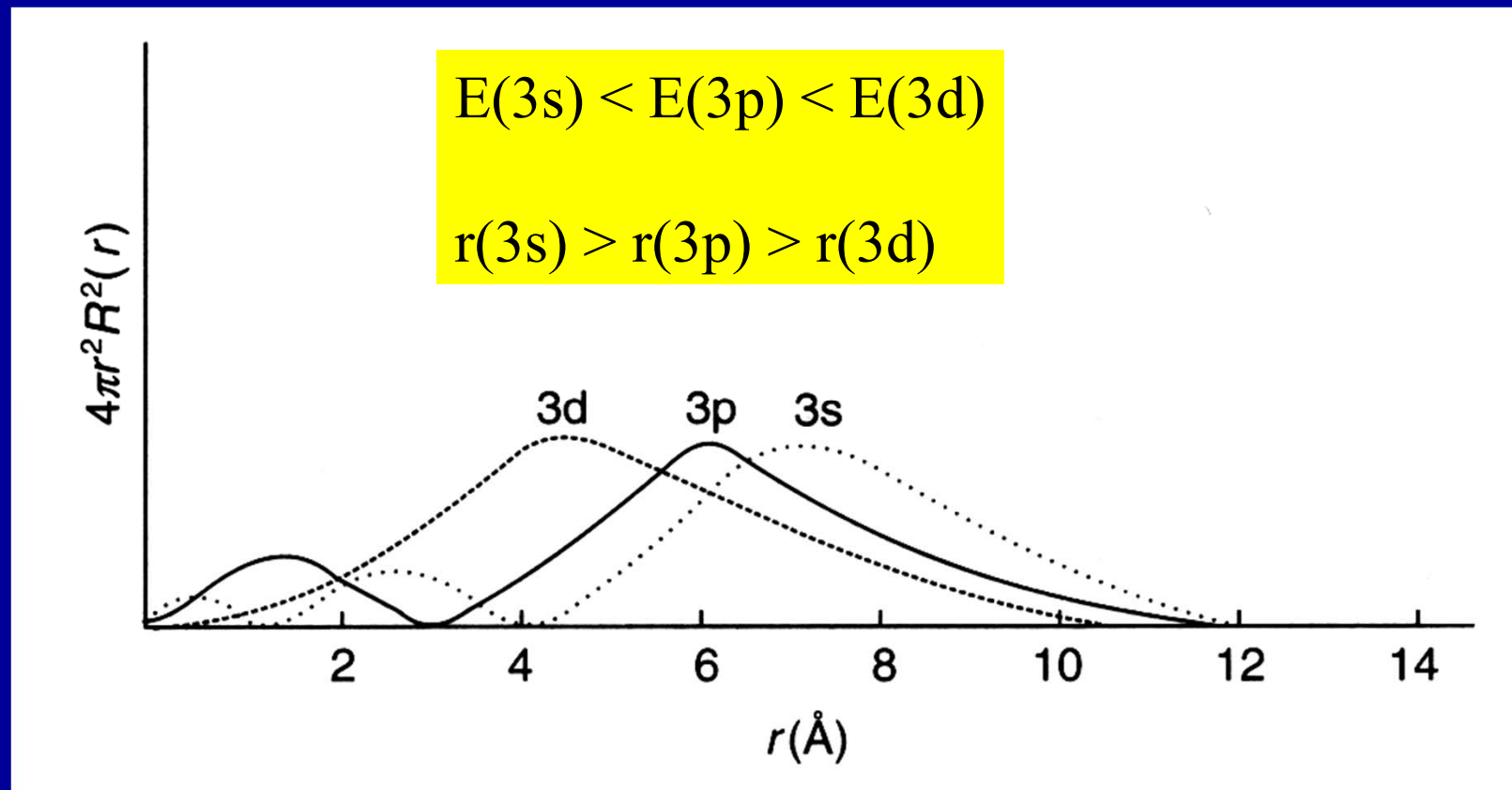
Čím se elektron průměrně nachází blíže k jádru, tím je pevněji vázán a má nižší energii

$$E(2s) < E(2p)$$

$$r(2s) > r(2p)$$



Relativní energie orbitalů s, p, d



Slaterovy orbitaly

Orbitaly pro víceelektronové atomy - přibližné

- orbitaly (vlnové funkce) vodíkového typu
- azimutální část: stejná jako u H
- radiální část (nemá nodální plochy):

$$R(r) = N r^{n^* - 1} e^{-\frac{Z^* r}{n^*}}$$

Z^* = efektivní náboj jádra, N = normalizační konstanta

n^* = efektivní kvant. číslo (pro K, L, M = n)

$$E_i = -N (Z^*_i/n_i)^2 \quad N = 1313 \text{ kJ mol}^{-1}$$

Efektivní náboj jádra, Z^*

Z^* = efektivní náboj jádra = náboj působící na zkoumaný elektron
= náboj jádra (Z^+) – náboj ostatních el.

$$Z^* = Z - \sigma \quad \sigma = \text{stínící konstanta, součet pro všechny elektrony}$$

Slaterova pravidla:

(1s)(2s,2p)(3s,3p)(3d)(4s,4p)(4d)(4f)(5s,5p)(5d)(5f)...

Elektrony napravo od zkoumaného elektronu nestíní, nepřispívají k σ

Uvnitř skupiny stíní 0.35 (1s jen 0.30)

Zkoumaný elektron typu s nebo p :

Elektrony v $n - 1$ vrstvě stíní 0.85

Elektrony v $n - 2$ vrstvě a nižších stíní 1.00

Zkoumaný elektron v d nebo f : vše nalevo stíní 1.00

Efektivní náboj jádra

Z^* = efektivní náboj jádra

$Z^* = Z - \sigma$

Náboj působící na elektron = náboj jádra (Z^+) – náboj ostatních elektronů

K (1s)²(2s,2p)⁸(3s,3p)⁸(3d)¹

$$\sigma(3d) = 0 \times (0.35) + 8 \times 1.00 + 10 \times 1.00 = 18$$

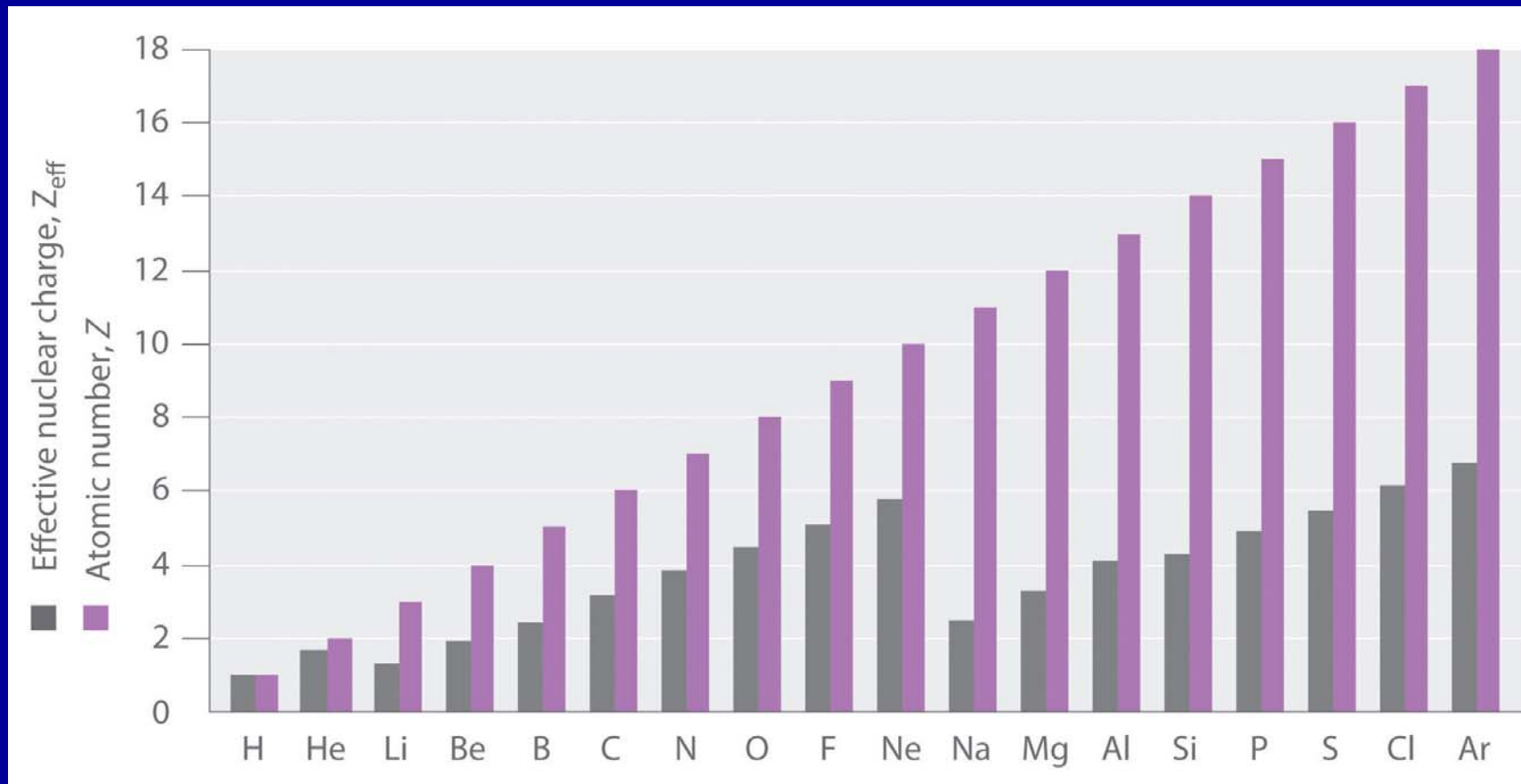
$$Z^* = 19 - 18 = 1$$

K (1s)²(2s,2p)⁸(3s,3p)⁸ (4s)¹

$$\sigma(4s) = 0 \times (0.35) + 8 \times 0.85 + 10 \times 1.00 = 16.8$$

$$Z^* = 19 - 16.8 = 2.2$$

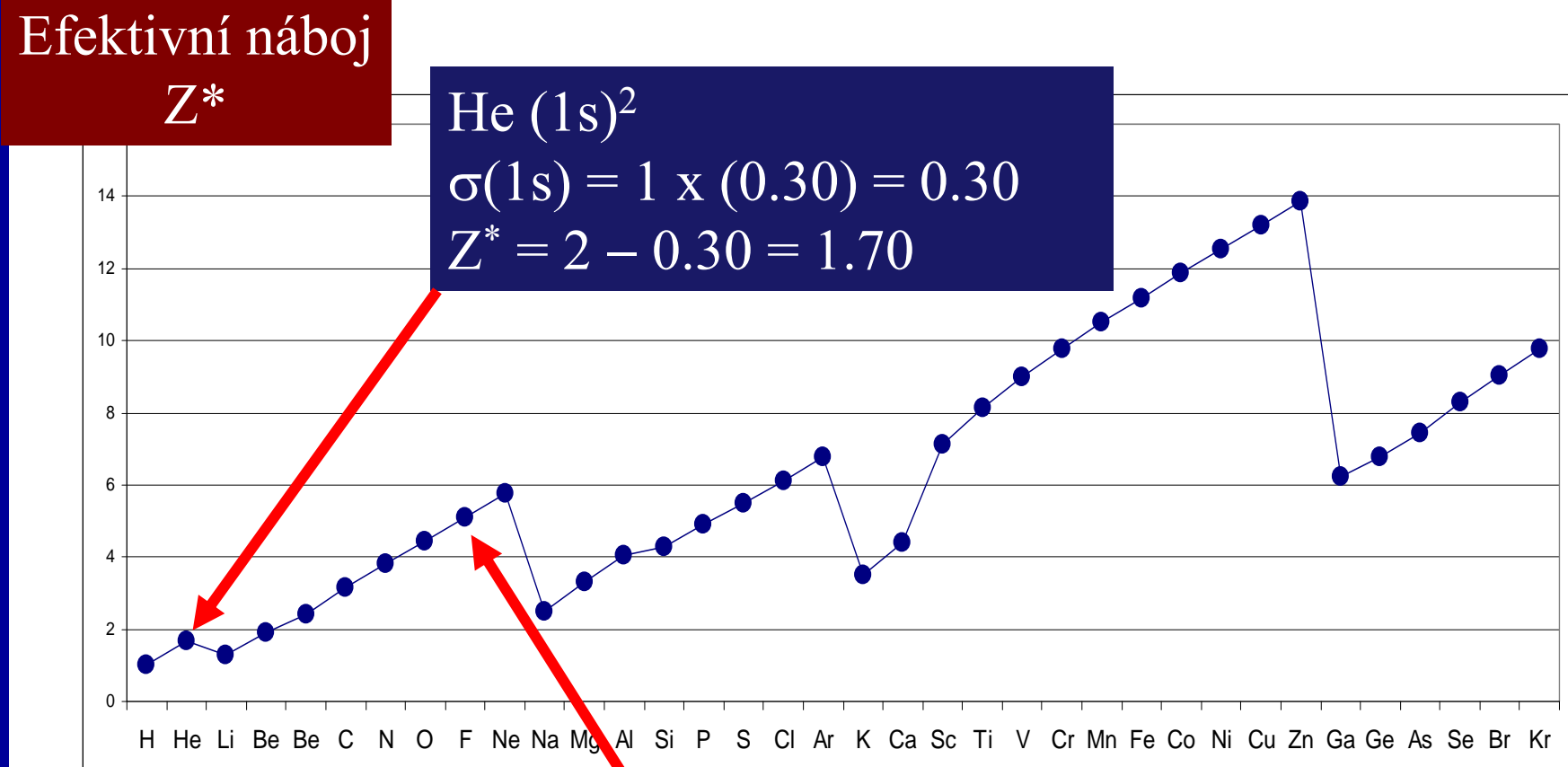
Efektivní náboj jádra



Efektivní náboj působící na valenční elektrony

Efektivní náboj

Z^*



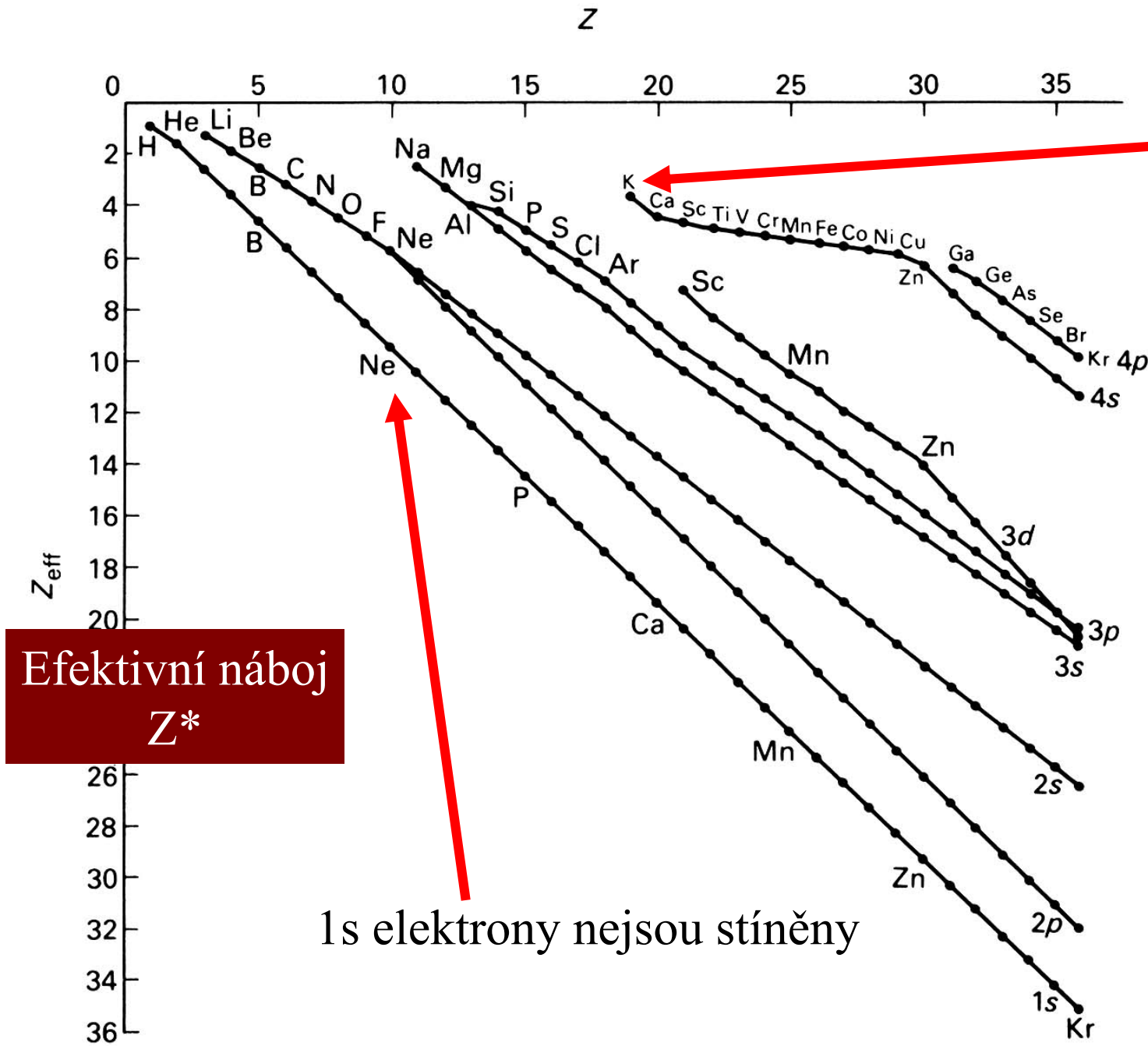
He (1s)²

$$\sigma(1s) = 1 \times (0.30) = 0.30$$
$$Z^* = 2 - 0.30 = 1.70$$

F (1s²)(2s²,2p⁵)

$$\sigma(2p) = 0.35 \times 6 + 0.85 \times 2 = 3.8$$

$$Z^* = 9 - 3.8 = 5.2$$

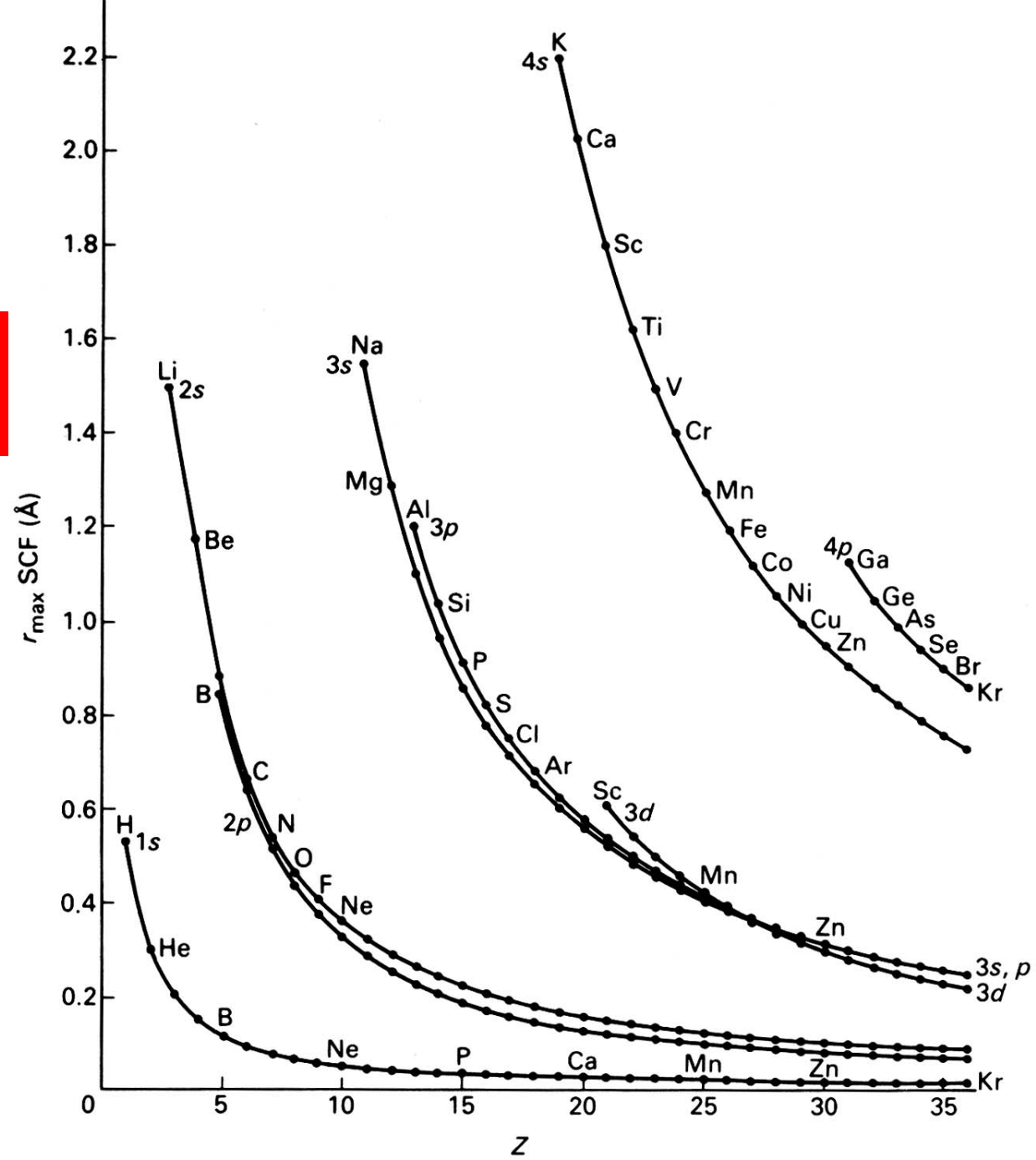


Ostatní
elektrony ve
vyšších
orbitalech
jsou stíněny

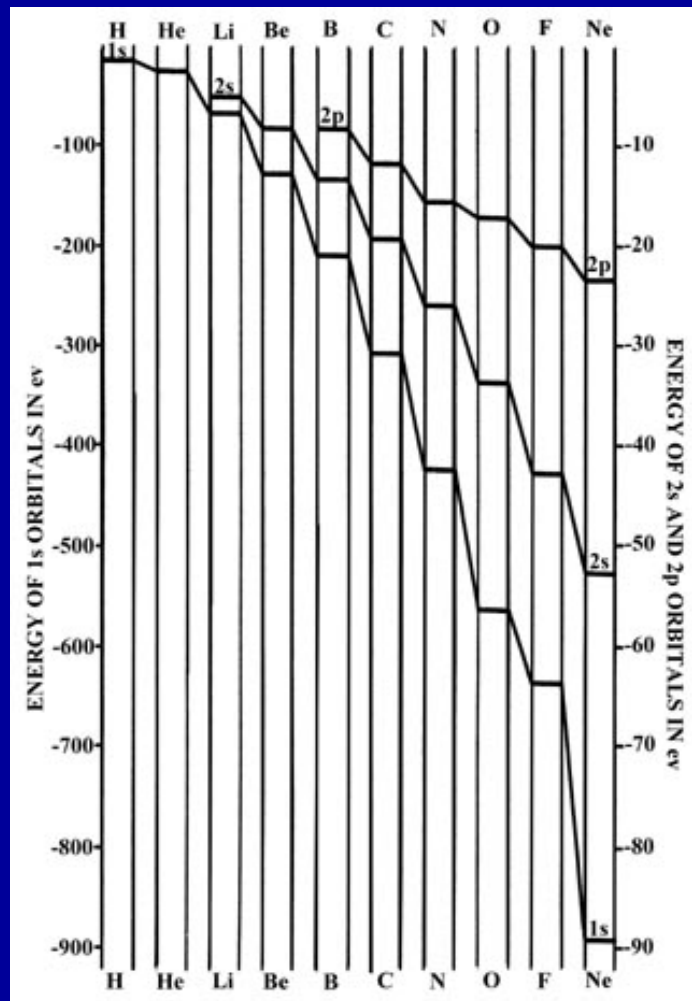
$$r(2s) > r(2p)$$

$$r(3s) \sim r(3p)$$

Poloměr maximální elektronové hustoty

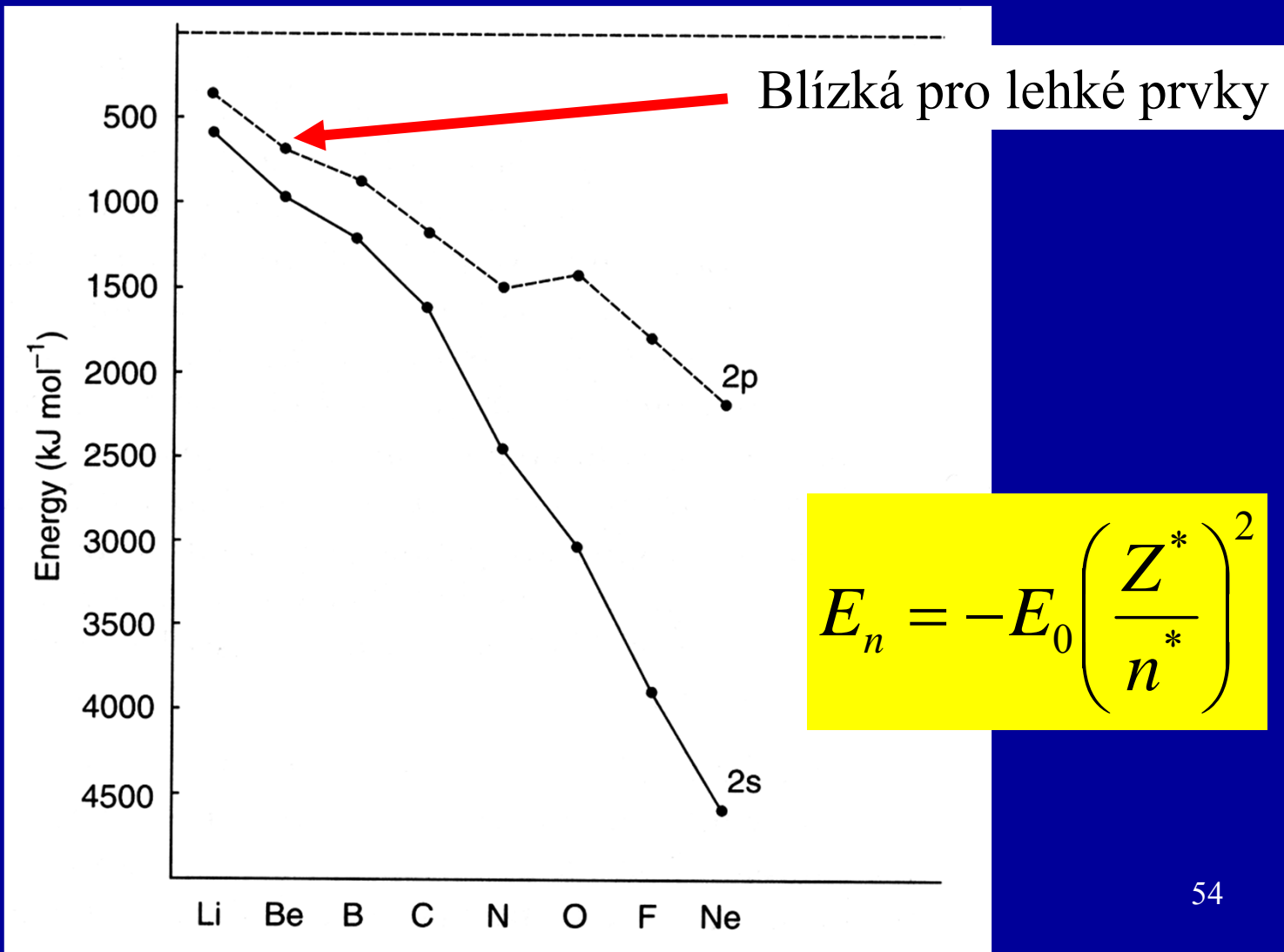


Energie orbitalů 1s, 2s a 2p



$$E_n = -E_0 \left(\frac{Z^*}{n^*} \right)^2$$

Energie orbitalů 2s a 2p

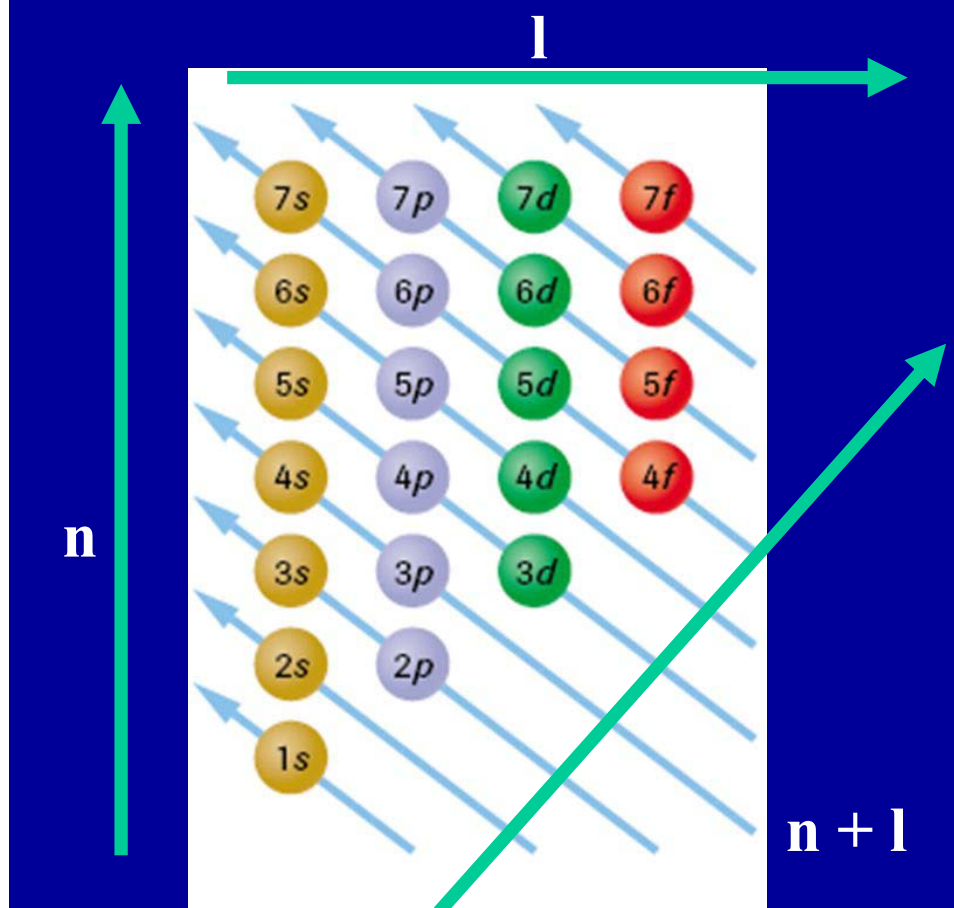


Elektronová konfigurace atomu v základním stavu

Aufbau (výstavbový) princip:
Elektronové hladiny se zaplňují elektrony v pořadí rostoucí energie tak, aby měl atom co nejnižší **celkovou energii**

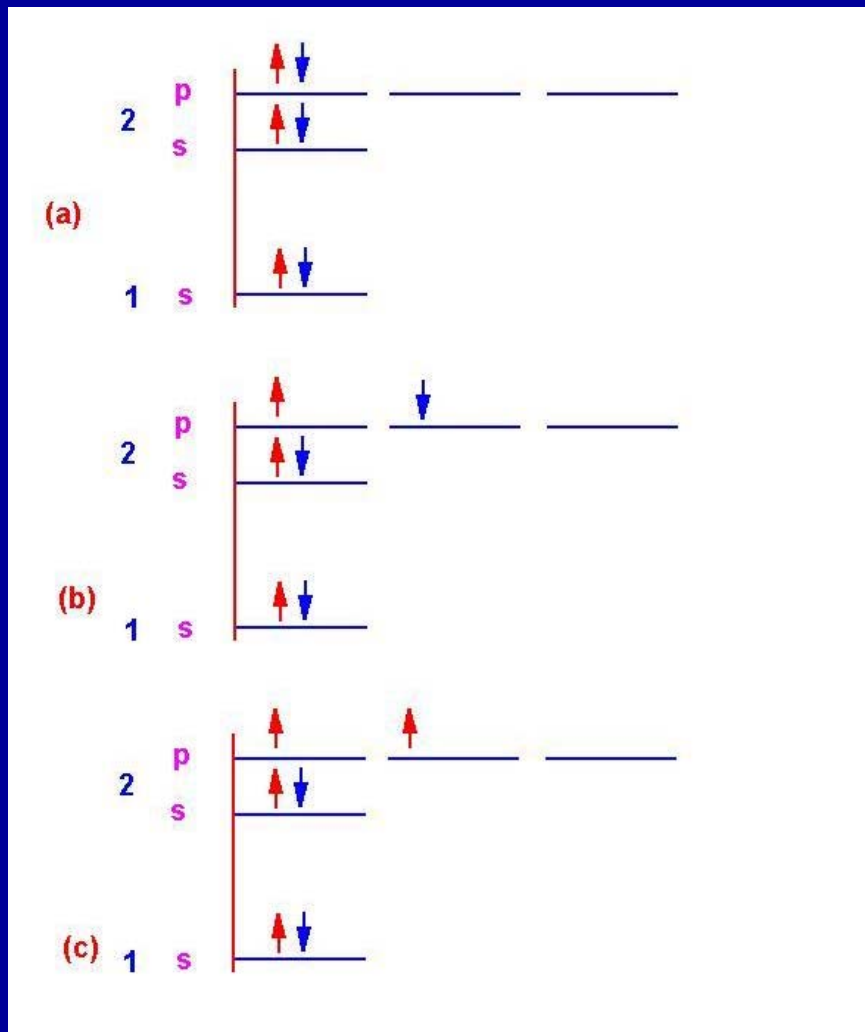
Pauliho princip:
Žádné dva elektrony nemohou mít všechna 4 kvantová čísla stejná.

Hundovo pravidlo:
V degenerovaných orbitalech je stav s max. počtem nepárových spinů nejstabilnější.



Elektronová konfigurace C

	1s	2s	2p	
a)	$\uparrow\downarrow$	$\uparrow\downarrow$	$\uparrow \downarrow$ <u> </u>	
b)	$\uparrow\downarrow$	$\uparrow\downarrow$	$\uparrow\uparrow$ <u> </u> <u> </u>	
c)	$\uparrow\downarrow$	$\uparrow\downarrow$	$\uparrow \uparrow$ <u> </u>	
d)	$\uparrow\downarrow$	$\uparrow\downarrow$	$\uparrow\downarrow$ <u> </u> <u> </u>	



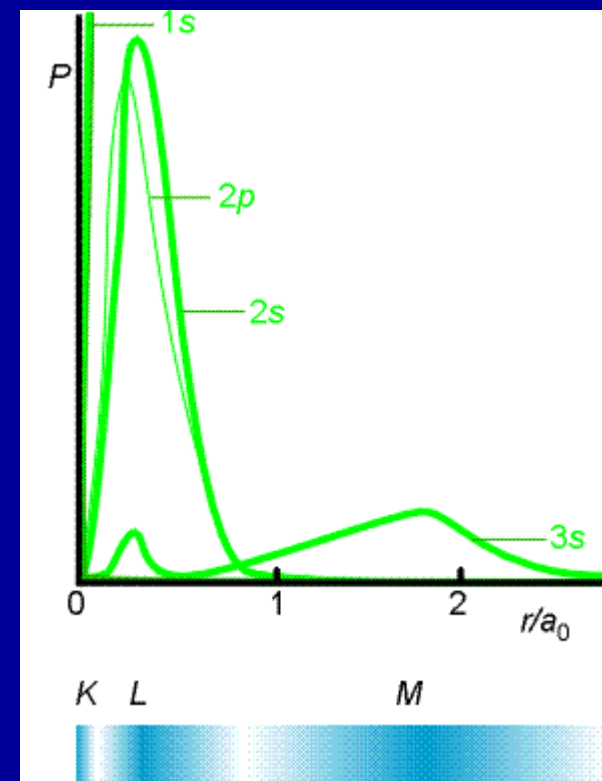
Elektronová konfigurace atomu v základním stavu

H 1	Electron Configuration Table																		He 2
1s																		1s	
Li 1	Be 2																		B 1
	2s																	2p	C 2
Na 1	Mg 2																	3s	N 3
	3s																	3p	O 3
K 1	Ca 2	Sc 1	Ti 2	V 3	Cr 4	Mn 5	Fe 6	Co 7	Ni 8	Cu 9	Zn 10							4s	F 4
	4s					3d												5s	Ne 5
Rb 1	Sr 2	Y 1	Zr 2	Nb 3	Mo 4	Tc 5	Ru 6	Rh 7	Pd 8	Ag 9	Cd 10							4d	Cl 4
	5s																	5p	Ar 5
Cs 1	Ba 2	La* 1	Hf 2	Ta 3	W 4	Re 5	Os 6	Ir 7	Pt 8	Au 9	Hg 10							6s	Br 4
	6s						5d											6p	Kr 5
Fr 1	Ra 2	+Ac 1	Rf 2	Db 3	Sg 4	Bh 5	Hs 6	Mt 7	Ds 8	Rg 9								7s	7p
	7s						6d												6
Ce 1	Pr 2	Nd 3	Pm 4	Sm 5	Eu 6	Gd 7	Tb 8	Dy 9	Ho 10	Er 11	Tm 12	Yb 13	Lu 14						
							4f												
Th 1	Pa 2	U 3	Np 4	Pu 5	Am 6	Cm 7	Bk 8	Cf 9	Es 10	Fm 11	Md 12	No 13	Lr 14						
							5f												

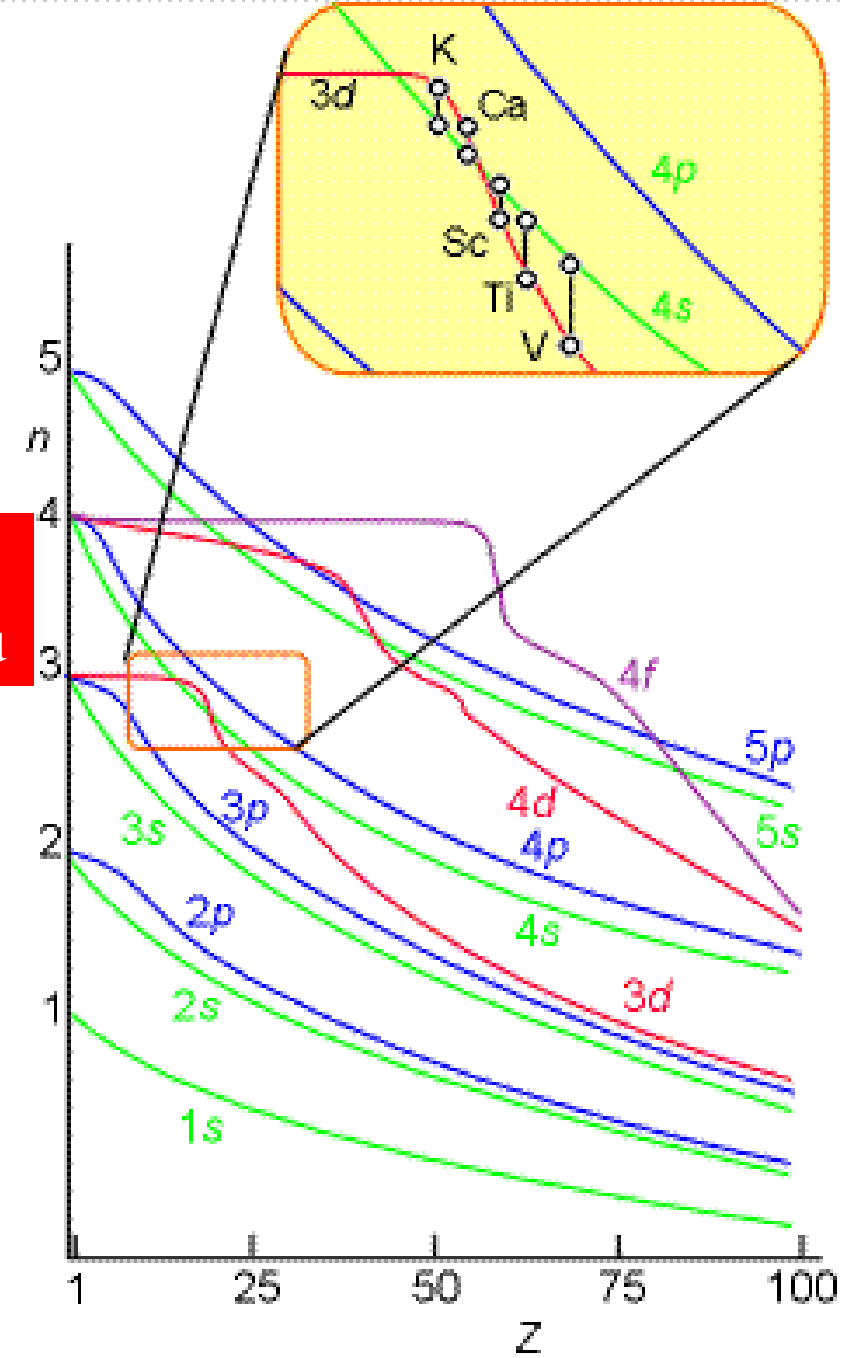
Elektronová konfigurace valenční slupky

(Ne)

	3s	3p
Na	↑	
Mg	↑↓	
Al	↑↓	↑
Si	↑↓	↑↑
P	↑↓	↑↑↑
S	↑↓	↑↑↑
Cl	↑↓	↑↑↓↑
Ar	↑↓	↑↑↓↓



Energie orbitalu



Obsazení orbitalů elektronu může změnit pořadí energií

Počínaje Sc,
3d orbitaly mají nižší energii než 4s

Elektronová konfigurace valenční slupky

(Ar)

	3d	4s
Sc	↑	↓
Ti	↑↑	↓
V	↑↑↑	↓
Cr	↑↑↑↑↑	↑
Mn	↑↑↑↑↑	↓
Fe	↑↓↑↑↑	↓
Co	↑↓↑↓↑	↓
Ni	↑↓↑↓↑	↓
Cu	↑↓↑↓↑	↑
Zn	↑↓↑↓↑	↓

